

Таблица 8

O-Ass [6]	Группы табл. 7[3]	Скопление [6]	I	2	3
40	6	333,	NGC	663	
42	7	350,	h	Per	
42	8	353,	x	Per	
43	II	357,	IC	1027	
51	28	-		-	
5	39	-	NGC	6561	
12	45	68,	NGC	6664	
18	51	156,	An(Dolidze 3)		
18	52	162,	An(Dolidze 40)		
18	57	168,	NGC	6913	
20	56	181,	NGC	6910	
21	60	-		-	
26	70	229,	NGC	7235	
(31)	85	256,	NGC	7510	
(31)	86	-		-	
(31)	89	260,	NGC	7654	

Таблица 9

Номер табл. 7[3]	Скопление [6]	I	2
3	326,	NGC	581
4	330,	NGC	654
5	332,	NGC	659
10	362,	NGC	957
16	450,	An(Dolidze 15)	
43	38,	IC	4725
44	66,	NGC	6649
46	69,	An(Trumpler 34)	
47	80,	An(Dolidze 32)	
54	161,	An(Berkley 84)	
72	23,	NGC	7261
81	248,	An (King 10)	
91	276,	NGC	7790

СПИСКИ ВОЗМОЖНЫХ ДОЛГОПЕРИОДИЧЕСКИХ ПЕРЕМЕННЫХ КЛАССА М,
ВЫЯВЛЕННЫХ В КРАСНЫХ ЛУЧАХ С ПОМОЩЬЮ СПЕКТРАЛЬНЫХ ПРИЗНАКОВ

М.В.ДОЛИДЗЕ

Нами уже давно было замечено, что некоторые звезды-гиганты спектрального класса М имеют характерные особенности в красном конце спектра. На комбинации пластиинка+фильтр: Кодак ОаE+КС-10, эти особенности спектрам некоторых типов звезд придают характерный, удобный для их выявления, вид.

Одна из особенностей – наличие в спектре несильной яркой полосы 6563. Интенсивность этой полосы редко превышает 3 в принятой национальной шкале интенсивности яркой H_α линии в эмиссионных звездах. При наличии резкого канта у полосы TIO 6159, 6365 также можно приписать резкому канту полосы TIO 6563. Спектр имеет характерный вид. Подобные звезды, а именно эмиссионные М звезды-гиганты мы не включили в единый список эмиссионных звезд, составленный нами в 1972 г. [1]. Было решено, что их следует рассматривать отдельно, как особый подкласс объектов.

Вторая особенность – это наличие в спектре полосы поглощения у 6700, превышающей по интенсивности таковую в обычных М гигантах. Как мы уже указывали [2], полоса поглощения TIO 6700 на комбинации Кодак ОаE+КС-10, создает заметный спад интенсивности с красного конца спектра. Для поздних подклассов M7-M10, нерасширенный спектр приобретает характерный вид. Ниже мы приведем примеры различных спектров. В дальнейшем оказалось, что подобные спектры имеют поздние мириды класса М. Другие особенности, характерные для спектра поглощения, были выявлены позже, они могли характеризовать подвиды долгопериодических переменных и различные фазы переменности блеска. О них мы расскажем ниже.

Составив список М звезд-гигантов с усиленной полосой поглощения 6700 ($\text{TIO} 6640-6750$) и, определив их приближенные координаты, мы смогли часть звезд отождествить с известными переменными типов: мирид, SRa и Lb.

Для ясности повторим, что мы использовали наблюдательный материал, полученный нами в первую очередь для изучения эмиссионных звезд. В качестве фртоматериала служили фотопластинки Кодак ОаE и, редко, Кодак ОаF+ и А-700 с фильтром КС-10. Исключение составляет одна пластиинка №169, полученная в 1956 г. на Кодак 103 аE и взятая

для известной переменной FR Sct типа Lb . Был использован наблюдательный материал, полученный в 1958-1962 гг. на 70-см менисковой призменной камере Абастуманской обсерватории в основном с 8-градусной призмой. Данные и календарь наблюдений приводим в таблице I.

Случилось так, что некоторые известные переменные, используемые нами в качестве стандартов, оказались на пластинках, полученных нами в различное время. Подобные единичные случаи, не охватывающие все изменения фазы, тем не менее дали нам возможность установить наличие различных стадий изменения вида спектра. Например, для мирид и Lb выделились две стадии (два различных вида) спектра. Первая - когда в спектре присутствует яркая полоса 6563 (эмиссионная линия H α , а возможно также резкий кант полосы поглощения TiO 6563, или оба вместе). Эту стадию мы условно обозначили как M7e, так как она заметна у звезд поздних подклассов. Вторая стадия характеризуется отсутствием этого признака. Различия же между этими типами переменных определяется тем, что у мирид и полуправильных, в отличие от Lb , в интервале 6540-6645 непрерывный спектр заметно усилен (это усиление условно назовем "шах 6560-6650"). Этот интервал с длинноволновой стороны может иметь очень резкий спад интенсивности у 6645 (начало полосы поглощения TiO 6700). Повторим, что "шах 6560-6650" и резкий спад интенсивности отсутствуют в спектрах Lb . О наличии "шах 6560-6650", как о наличии "яркого ядра" около 6650 в спектрах мирид и полуправильных, мы сообщали еще в 1967г. в заметке [3] . Тогда, для изучения различных спектральных особенностей мирид и полуправильных, был использован наблюдательный материал, полученный нами для различных целей на пластинках Агfa Астро Рот Рапид и Kodak OaF и наблюдательный материал, полученный нами совместно с Г.Н. Длимшелевшили для изучения спектров звезд поздних классов на пластинках Kodak OaF . В обоих этих случаях спектры были получены без фильтра. Ниже, на фото I, на котором мы для примера приводим спектры различных типов переменности, даны спектры для двух, описанных выше, стадий развития.

О различиях между спектрами мирид и полуправильных Sra в красных лучах, мы сообщали в заметке [2] . Здесь мы добавим, что мирида (возможно, что это бывает только при передержке в спектре) может иметь стадию Sra , т.е. в миридах интенсивность полосы поглощения TiO 6640-6750 может меняться в пределах (2),3,4,(5). (5 - возможно только при недодержке спектра). Шкала оценок интенсивности полос поглощения TiO 6640-6750 [2] теперь выглядит следующим образом (таблица 2):

Таблица 2

Тип звезды	Интенсивность полосы поглощения 6700
dMe	0
gMe	I
SRa	2
M	(2),3,4,(5)
Lb	3,4,5

Как было сказано выше, для наглядности, на фото I приводим увеличенные отпечатки ($\times 13$) спектров различных типов (и стадий развития) переменных: ранних и поздних мирид, Sra , Lb и MS мирид. Для переменных класса M приведены также стадии M7e.

О миридах класса MS мы сообщали отдельно [4] . Они вместе с приведенными в [2] и [3] миридами и Sra , вошли в наш общий список возможных мирид, полуправильных Sra и неправильных Lb , обнаруженных нами в красных лучах (таблица 3).

В списке (таблица 3) мы приводим следующие данные:

1 столбец - порядковый номер звезды (звезды расположены по возрастающему значению прямого восхождения).

2 и 3 столбцы - приближенные координаты звезд, определенные по сеткам карт Франклина-Адамса.

4 столбец - номер пластиинки.

5 столбец - фаза блеска звезды, вычисленная для среднего момента наблюдения только для известных переменных по данным, приведенным для них в ОКПЗ .

6 (8,9) столбец - тип (стадия развития) переменности, определенный нами по следующим спектральным признакам: 6700 - интенсивность полосы поглощения TiO 6640-6750 (шкала оценок приведена в таблице 2, значения в таблице 3, столбец 8). Заметим, что в поздних миридах нерасширенный спектр в этом участке заметно сужается (фото I, звезда 155,57,29). 6560-6650 - наличие интервала усиления непрерывного спектра большей частью с резким опадом интенсивности с длинноволновой стороны спектра. В спектрах поздних мирид спектр около 6600 сильно расширен, закругляется у 6645 и может иметь резкую границу с длинноволновой стороны. (Фото I, звезды 155,57,29 и 60,181,64). Этот признак отсутствует у Lb . 6563 - яркая полоса H α . Мы оценивали ее интенсивность (столбец 9, таблица 3) в шкале, используемой нами для оценок интенсивности яркой линии H α у эмиссионных объектов I (фото I, звезды 136, 181). 6650 -упомянутая выше резкая граница в интенсивности непрерывного спектра. Отсутствует у звезд Lb .

Как указывалось выше, первые три признака мы использовали для выявления и отбора M, SRa и Lb переменных класса M, а четвертый признак для выделения стадии M7e. Из-за слабости H_α линии в спектрах этих переменных и необходимости различать также различные типы переменности, использование при поисковых работах только одного этого признака менее эффективно.

7 столбец - спектр звезды. Спектр оценивался также для стандартных (в данном случае - звезд с известным типом переменности) звезд. Понятно, что полноценным стандартом нам могли служить звезды с известным типом переменности и - пределами изменения спектра. В каждом случае, с помощью наших данных, мы могли подтвердить или дополнить данные о спектрах, приводимые в каталогах переменных звезд. Как обычно, подклассы M и MS звезд мы оценивали по интенсивности полос поглощения T10 6169, а классы M и MS, по наличию полос поглощения: T10 6159, 6700 или, по наличию полос поглощения T10 6345, 6474 и T10 6159, 6700, одновременно.

10 столбец - номер фото с картами окрестностей. Звезды обозначены соответственно их порядковому номеру (табл.3, столбец I). Чтобы в дальнейшем можно было уточнить отождествление, мы решили снабдить список картами окрестностей всех звезд (фото 2-18). Карты окрестностей - это в шесть раз увеличенные отпечатки с оригиналов. Север вверху, запад - справа. Точка и номер поставлены с юга от звезды. (Так как призма иногда поворачивалась на 180°, красный конец спектра на картах не всегда расположен с юга). Если звезда находится на краю пластиинки, на карте ее спектр соответственно смещен от центра.

II столбец - примечания, в которых даны некоторые добавочные данные спектров.

В примечаниях к таблице дается отождествление с известными долгопериодическими переменными по данным ОКПЗ (1969) и КЗП (1951, 1965). Во многих случаях результаты этого отождествления, из-за отсутствия у нас необходимой литературы с картами окрестностей, сомнительны. Дело усложняется также тем, что не во всех случаях известны спектры переменных. Между тем, сравнение спектральных данных с каталогами обычно служит для проверки правильности отождествления.

В наш список возможных долгопериодических переменных (таблица 3) мы не включили КЗП 5255, которую мы отнесли к миридам спектрального класса MO, обнаружив ее по эмиссионным линиям H_γ и H_δ [5]. Вторая мирида [4], обнаруженная нами как по признакам описанным здесь, так и по наличию эмиссионных H_γ-H_β, естественно, входит в список, приведенный в таблице 3.

Здесь напрашивается некоторое статистическое обобщение. А именно, хотя наш наблюдательный материал, полученный в красных лучах более обширен, чем материал, полученный без фильтра, все же, по данному, имеющимся сейчас в Абастуманской обсерватории, можно сказать,

что частота обнаружения новых мирид по спектральным признакам гораздо больше, если для их поисков использовать не эмиссионные линии H_γ-H_β или H_α, а вышеописанные спектральные признаки. Соотношение чисел примерно такое: 10:5:1.

Звезды типа Lb, включая стадию M7e для Lb, мы стали различать уже в ходе выполнения данной работы, поэтому, естественно, наш список звезд типа Lb-неполный.

Что касается звезд типа SRb то, мы их здесь полностью исключили из рассмотрения, хотя раньше на другом фотоматериале мы их свободно выделяли [3].

В качестве примера на фото I, приводим несколько передержанный спектр стандартной (в данном случае известной) переменной типа SRb:RX Lac. Видно, что в некотором отношении спектр отличается от спектров переменных типа SRa.

В таблице 4 мы отдельно приводим список различных поздних звезд, выявленных одновременно с возможными переменными звездами класса M. Среди них эмиссионная dMe, MS и C звезды.

Таблица 4

№ п/п	α ₁₉₀₀	δ ₁₉₀₀	Номер плас-Спектр- тии- ко-	№ то
1р	04 ^h 15 ^m .1	20°39'	3020 С:	18
			3732 С:	18
2р	05 41.5	09 25	2197 С:	18
			2148 С:	18
3р	05 47.0	08 55	2197 MS:	18
4р	06 38.7	01 47	2212 M(3-5):	18
5р	06 39.1	01 55	2212 С:	18
6р	23 13.4	62 45	2514 (MS):	18
			3017 (MI-3a): -	
7р	23 58.4	66 41	937 M5e	18

Выполнение данной спектрально-поисковой работы было продиктовано необходимостью уметь различать между собой спектры эмиссионных звезд гигантов и карликов, эмиссионных звезд различных типов переменности и различные долгопериодические переменные гиганты при отсутствии в их спектрах эмиссионных линий.

Работа в этом отношении не закончена. Кроме систематических наблюдений переменных звезд в различных фазах блеска, наблюдения необходимо дополнить щелевыми спектрограммами для расшифровки спектральных особенностей.

Как обычные первые поисково-разведочные работы, данная работа тоже вероятно включает в себя ошибки и неопределенности. Но, мы надеемся, что найден правильный путь для массовых спектрально-поисковых работ по выявлению долгопериодических переменных. Мы наде-

смся такие, что наблюдатели переменных звезд проверят все звезды из Таблицы 3 на переменность блеска и, при наличии переменности определят также пределы изменения блеска и спектра звезд.

Декабрь, 1974.

50000 46032000 1224000 00000000
50000 46032000 1224000 00000000

Արմերուս Տօքոյին գովաս և Աշուտոս Կըսես քրթութեարուան պարագա Վահկառալարու և Աշուտոս Վահկառալարու, Բոթը թագ Անապատաց Բնուար Սեղանածին.

მისი დებულია, რომ სპეციალისტთა დაცისებურებაზე შეიძლება გამოიყენებული იქნეს რიცხვზე სპეციალისტთა დაცისებები, აუტორებით და კლასის გრძელებითი გადაცემი კანკლიუმის დროის განვითარების: და MS კლასის მიწოდების და კლასის SRA და 1b -ების გამოიყენებისა და გამოიჩინებისათვის.

მოყვანილია სია M ერასის ქრძელერიობისანი და შესაძლო ქრძელერიობისანი / M, Sra და Ia / აცარებაზებისას, წომებიც გამოვლენილი იყო სპეციულ აქტებითი წილი სხივებში.

LIST OF PROBABLE LONG-PERIOD VARIABLES OF M TYPES
REVEALED IN RED LIGHT BY MEANS OF SPECTRAL FEATURES

M. V. DOLIDZE

(Summary)

Spectral peculiarities of some long-period variables of spectral type M in red light are described.

It is pointed out that spectral peculiarities can stand for spectral features which are necessary for revealing and sorting out Mira types of M and MS classes, semi-regular SRa and irregular Lb of M classes.

A list of long-period and probable long-period variables of M type (M, SRa and Lb) revealed in red light by means of spectral features is presented.

Цитированная литература

- Литература

 1. Долидзе М.В. Бюлл. Абастум. обс., 1975, № 47, 3.
 2. Долидзе М.В. АЦ АН СССР, 1974, № 843, 6.
 3. Долидзе М.В., Джимшелейшили Г.Н. АЦ АН СССР, 1967, № 449, 5.
 4. Долидзе М.В. АЦ АН СССР, 1975, № 856, 7.
 5. Долидзе М.В. АЦ АН СССР, 1968, № 464, 5.

Таблица I

Номер пла- тины	Даты	Координаты центра пла- тины		Время вы- держки в минутах	J D
		α ₁₉₀₀	δ ₁₉₀₀		
I	2	3	4	5	6
1028	14-15.10.1958	00° 00'	59° 30'	120	2436 491.458
937	25-26.08.1958	00 00	67 30	76	6 441.471
1076	14-15.II.1958	00 40	62 10	90	6 522.292
1068	12-13.II.1958	01 39	-17 50	120	6 520.375
939	26-27.08.1958	03 53	36 40	56	6 442.537
2512	09-10.IO.1961	03 50	52 00	60	7 582.417
1558	28-29.03.1960	04 00	36 00	90	7 022.218
3164	02-03.II.1962	04 10	25 00	120	7 971.385
2163	II-12.02.1961	04 10	28 00	120	7 342.208
3020	25-26.09.1962	04 15	19 00	120	7 933.500
2519	13-14.IO.1961	04 15	28 00	120	7 386.521
1074	13-14.II.1958	05 15	34 00	120	6 521.514
1542	26-27.03.1960	05 22	09 00	90	7 020.219
1396	04-05.IO.1958	05 30	22 40	120	6 846.490
2501	06-07.IO.1961	05 35	36 00	120	6 521.514
2197	18-19.03.1961	05 45	08 00	120	7 377.250
1434	03-04.II.1959	05 45	28 00	120	6 876.507
22II	07-08.04.1961	06 05	15 25	81	7 397.240
2212	08-09. 04.1961	06 43	00 30	120	7 398.271
I030	I4-I5.IO.1958	06 50	04 00	60	6 491.573
II42	II-12.04.1959	07 06	04 40	90	6 670.278
2195	20-21.02.1961	07 25	13 28	120	7 351.375
I559	28-29.03.1960	08 22	39 00	120	7 022.271
I592	I8-I9.05.1960	15 52	-25 50	110	7 073.431
I598	20-21.05.1960	16 15	-22 30	117	7 075.292
838	22-23.06.1958	16 21	-24 30	120	6 377.313
I595	I9-20.05.1960	16 30	20 54	120	7 074.458
I025	I4-I5.IO.1958	17 42	26 00	117	6 491.271
2251	I8-I9.05.1961	17 50	-18 00	120	7 438.417
I554	27-28.03.1960	18 00	33 00	90	7 021.490
3021	26-27.09.1962	18 03	-13 30	120	7 934.219
I69	I5-I6.06.1956	18 11	-12 30	34	5 640.427
2257	08-09. 06.1961	18 20	-18 00	120	7 459.396
2481	03-04.IO.1961	18 30	06 00	120	7 576.229
I245	I4-I5.OI.1952	18 40	06 00	120	6 764.389

Таблица I (продолжение)

I	2	3	4	5	6
I638 30- .06.1960	18°30'	-08°00'	I06	7 I46.35I	
-0I.07.1960					
2513 II-12.I0.1961	I9 20	30 00	I20	7 584.198	
I620 27-28.06.1960	20 08	42 00	I20	7 II3.3I3	
2448 I5-I6.09.1961	20 I0	43 30	I20	7 527.299	
I622 27-28.06.1960	20 II	38 30	20	7 II3.458	
I621 27-28.06.1960	20 II	38 30	I20	7 II3.365	
I640 39- .06.1960	20 II	38 00	I0	7 II6.490	
-0I.07.1960					
I612 22-23.06.1960	20 I7	39 00	I24	7 I08.438	
I382 28-29.09.1959	20 20	42 00	I20	6 840.292	
2279 I4-I5.07.1961	20 38	41 00	94	7 495.470	
I246 I4-I5.07.1959	20 45	33 00	I2I	6 764.458	
I372 26-27.09.1959	20 50	28 00	45	6 838.254	
II5I I9-20.04.1959	20 50	31 I0	75	6 678.507	
I639 50- .06.1960	2I 00	38 05	I20	7 I46.45I	
-0I.07.1960					
2855 05-06.07.1962	2I 05	38 00	I20	7 85I.458	
I285 I 02-03.07.1962	2I I0	38 00	34	7 848.4I7	
2510 08-09.10.1961	2I I0	4I 00	90	7 58I.208	
I43I 03-04.II.1959	2I I5	37 30	I20	6 876.229	
3000 22-23.09.1962	2I I5	37 30	65	7 930.226	
300I 22-23.09.1962	2I I5	37 30	I20	7 930.274	
3004 23-24.09.1962	2I I5	37 30	I20	7 93I.240	
30I2 24-25.09.1962	2I 36	50 00	I20	7 932.392	
903 24-25.07.1958	2I 40	57 40	II4	6 409.458	
3I54 0I-02.II.1962	22 00	58 30	I20	7 970.222	
5I4I 3I- .10.1962	22 I5	56 00	I20	7 969.20I	
-0I.1I.1962					
30II 24-25.09.1962	22 I5	63 00	I20	7 932.333	
I432 03-04.II.1959	22 I7	43 I0	I20	6 876.299	
2498 06-07.10.1961	22 40	40 00	I20	7 579.240	
936 24-25.08.1858	22 53	58 00	60	6 440.500	
I07I I3-I4.II.1958	22 53	58 00	94	6 52I.199	
30I7 25-26.09.1962	23 00	62 00	I20	7 933.359	
I395 04-05.10.1959	23 05	56 30	97	6 846.363	
25I4 II-I2.I0.1961	23 I0	6I 00	I20	7 584.333	
I368 25-26.09.1959	23 I7	58 00	94	6 837.349	
2449 I5-I6.09.1961	23 50	56 00	I20	7 527.375	

Таблица 3

Л/п	α1900	δ1900	Номер пла- стинки	Фаза	Тип	Спектр	6700	6563	Номер при- фото меча- ния	
1	2	3	4	5	6	7	8	9	10	II
I 00°02'0 61°24'	I028	M-M7e	M5-7	3-4	3				2	
2 12.7 58 34	I028	M-M7e	M5-7	3-4	3				2	
3 18.2 61 49	I076	M-M7e	M5	3-4	2				2	
4 22.2 62 59	I076	M	M5	3	-				2	
5 23.7 63 19	I076	M	M5-7	4	-				2	
6 29.9 63 58	I076	M	(M3-5 S) : C : 3	-	-				2	
7 38.9 60 07	I076	M:	M5-7	3:	-				2	
8 42.7 59 45	I076	M	M5-7	3-4	-				2	
9*00 49.2 62 58	I076	SRa : M7e	M5-7	3	2				2	
10*01 29.5-19 27	I068	M	M7	3-4	-				2	
II*03 23.7 35 18	939 0.45I	M	M7	4	-				2	
I2* 42.3 50 40	25I2 0.92I	M	M8	4	-				2 I	
I3 47.3 36 I5	I558	M	M5-7	3-4	-				3	
I4 03 56.3 28 I0	2I63	Lb	M5	3-4	-				3	
I5*04 02.5 26 32	25I9	SRa	M3	2	-				2	
	2I63	Lb	M3	3	-				I,32	
I6 05.5 26 08	25I9	Lb	M3-5	3-4	-					
	2I63	Lb	M5	4	-				3	
I7 05.7 29 07	25I9	Lb	M5	3	-				3	
	2I63	Lb	M3-5	2-3	-					
I8 09.3 34 59	I558	M:	M7	3-4	-					
I9 09.3 35 I8	I558	M	(M3-5 S) S :	3-4	-				I,3	
20 I5.0 25 37	3I64	M:	M5-7	3-4	-				3 I	
2I 04 I9.3 27 47	25I9	M:	M5	4	-				3	
22*05 I4.2 34 55	I074	Lb	M5	4	-				33	
23 I6.5 20 40	I396	Lb	M5	3	-				3	
24 I6.6 22 39	I396	M	M7	3-4	-				3 I	
25* I9.8 36 48	250I 0.586	M	M5-7	4	-				42.5	
26* 23.2 08 4I	I542	Lb	M5	3	2				4	
27 28.7 20 20	I396	Lb	M3-5	2-3	-				42	
28* 33.7 28 36	I434 0.106	M	M5	3	-				46	
29* 33.7 37 25	250I 0.29I	M	M7-9	3-4	-				I,4	
30* 38.7 06 54	2I97	Lb	M5	2-3	-				4	

Таблица 3 (продолжение)

I	2	3	4	5	6	7	8	9	10 II
31 [*]	05°45'3	28°13'	I434	lb	M3-5	2	-	4	
32 [*]	05 57.7	I3 44	22II	0,446	M	M7-9	4	-	4
33	06 10.1	I5 I6	22II	M	M5	4	-	4	
34	43.0	02 02	22I2	M-	-M7e	M7	4	3	4
35	48.9 -05 38	I030	M	M5	4	-	4		
36	06 54.7 -02 I5	I030	lb	M5	2-3	-	4		
37	07 08.0 -03 57	II42	M:	M5	3-4	-	5		
38 [*]	17.7	I3 I8	2I95	0.524	M	M5	5:	-	I,5
39	I9.3	I2 I7	2I95	lb	M5	3	-	5	
40 [*]	07 28.6 II 53	2I 95	0.946	M	M7	3-4	-	5	
41	08 18.6 37 34	I559	M-	-M7e	M7	4	3	5	
42	08 31.1 40 I4	I559	M-	-M7e	M7	4	2-3	5	
43 [*]	I5 53.2-23 29	I592	0.382	M	M7	4	-	5	
44	56.3-26 03	I592	lb	M7	4	-	5		
45 [*]	56.5-26 34	I592	lb:	M7	4	-	5		
46	56.6-26 07	I592	lb	M7	4	-	5		
47	57.7-26 06	I592	lb	M7-9	4	-	5		
48 [*]	I5 58.2-25 03	I592	M:	M5	3	-	5		
49 [*]	I6 02.5-21 55	I598	lb:	-M7e	M7	4:	-	5	
50	08,4-24 40	838	(M:)	-M7e	M7	4:	-	5	
			lb	M5-7	4	-	6		
51	09.8 -24 45	838	M	M5	3	-	6		
52 [*]	II.5 -24 40	838	M:	M3-5	2-3	-	6		
53 [*]	II.9 -21 38	I598	0.420	M-	-M7e	M7	4	-	
54 [*]	I3.7 -22 08	838	0.289	M:	M3-5	2-3	-	6	
		I598	0.740	M:	M3-5	2-3	-	6	I
55	I4.6 -20 55	I598	(M:)	lb	M5-7	4	-	6	
56 [*]	I4.8 -21 21	I598	M	M3-5	4	-	6		
57 [*]	I6 23.7-I9 09	I595	0.228	M	M7-9	3-4	-	6	
58	I7 39.3 -I8 42	225I	M-	-M7e	M7	4	-	I,6	
59 [*]	39.8 -I6 06	225I	0.228	M-	-M7e	M7	4	3	6
60 [*]	45.I 24 55	I025	M-	-M7e	M7	4	2	6	
			lb	M5	(3-4):	-		I,6	

Списки возможных долгопериодических переменных класса M ... 181									
Таблица 3 (продолжение)									
1	2	3	4	5	6	7	8	9	10 II
61	I7 ^b 51 ^m 2	-19 ^o 26'	225I	0,682	M-M7e	M7	4:	I-2	6 4
62	59.7	-13 52	302I		M	M5	3-4	-	7
63	I7 53.0	-16 40	225I		M-M7e	M7	4:	I-2	7 4
64 [*]	I8 05.3	3I 59	I554		Ib-M7e	M7	3	-	I,7
65 [*]	08.6	32 26	I554		Ib	M3-5	2-3	-	7
66	I4.6	-16 32	2257		SRa:	M5	2-3	-	7
67	I6.0	-17 I4	2257		M-M7e	M7	4	I-2	7 I
68	I7.2	-19 29	2257		M	M5	3	-	7
69 [*]	I7.7	-12 43	I69		-	M3-5	-	4	7
70	I9.4	-06 5I	I638		M	M5	3	-	7
71 [*]	20.4	-19 47	2257		M	M5	3	-	7
72	22.6	-18 36	2257		M-M7e	M7:	4	2	7 I
73	23.2	-17 5I	2257		M	M5	3	-	7
74	23.6	50 50	I245		M	M7	4	2	8 7
75 [*]	23.9	06 I4	248I		Ib	M5	4	-	8 3
76 [*]	24.0	-19 09	2257	0.033	M-M7e	M7:	4:	2-3	8 I,4
77	24.8	-08 I9	I638		M	M7:	4	-	8
78 [*]	25.4	06 I3	248I	0.840	M	M3-5	3	-	
79 [*]	26.2	06 56	248I	0.360	M	M8	3-4	3	8
80	26.6	04 I8	248I		M	M3S	4	-	I,8
81 [*]	26.9	-09 58	I638	0.73I	M	M7	4	-	8
82 [*]	28.9	-19 37	2257	0.659	M-M7e	M7	4	2	I,8 I
83	29.0	-17 I9	2257		M	M5	3-4	-	8
84 [*]	29.3	07 43	248I		Ib	M7	2:	-	8
85 [*]	30.4	06 22	248I		Ib	M3-5	2	-	8 2,4
86 [*]	3I.0	07 37	248I	0.195	M-M7e	M5-7	3:	2-3	9
87 [*]	3I.2	04 59	248I	0.180	M	M5-7	4	-	9
88 [*]	I8 32.6	07 I8	248I	0.123	M	M7	3-4	2	9
89	I9 12.4	3I 33	25 I3		M	M5-7	4	-	9
90 [*]	I8.3	3I 42	25I3	0.284	M-M7e	M7	4	2	9
91	2I.I	30 20	25I9		M-(M7e)M5		4	-	9
92 [*]	2I.7	29 04	25I3	0.940	M(M7e)	M7	4	2	9
93 [*]	22.4	3I I6	25I3	0.367	M-M7e	M7	4	-	9
94	I9 56.0	4I 08	I620		M	M5-7	4	-	9
95	59.6	4I I4	I620		M:	M5-7	4	-	9
96	20 0I.3	39 54	I620		M	M5-7	4	-	9
97	08.2	37 4I	I62I		M3-5	I2-3	-	-	9 2
			I622		I3	2-3	-	-	3
98	09.8	4I 09	I382		M-M7e	M7e	4	-	10
			I620		SRa	M5	3	-	

М.В. Долидзе

Таблица 3 (продолжение)

I	2	3	4	5	6	7	8	9	10	II
99	20 ^h 10 ^m 5 ^s	39° 06'	162I	SRa	M3	2-3	-	-	10	2
			1622	M	M5	2-3	-	-		
			1640	M	M7e	4	2			
100	10.6	43 08	1382	M-M7e	M5-7	4	-	-	10	
			1620	M: (g M)	M5	3	-	-		
101	14.7	42 59	1382	M	M5-7	4	-	-	10	
			1620	M	M3-5	3	-	-		
			2448	M(M7e)	M5	4	1			
102	17.8	3752	162I	M(M7e)	M7	4	-	-	10	I
			1622	-	M7	4	2			
			1640	M-M7e	M7	4	-			
103	23.8	40 39	1612	M-M7e	M5	4	1	10		
104*	23.9	40 44	1612	0.847M	M5	3-4	-	10		
105	33.6	37 30	1612	M(M7e)	M5-7	4	-	10		
106	38.1	27 05	1372	M	M5-7	4	-	10		
107	39.8	34 05	1246	M	M5	3	-			
108	39.9	25 47	1372	M:	M7	4	-	10		
109*	40.4	32 04	1246	0.359M	M5-7	4	-	10		
110	42.3	29 02	1372	M-(M7e)	M5-7	3	-	II		
III	42.9	40 32	2279	M	M5	3-4	-	II		
II2	44.1	32 15	1246	M-M7e	M7	4	2-3			
II3	45.3	29 22	1372	M-(M7e)	M7	4	-	II		
II4	47.2	27 42	1372	M-(M7e)	M7	4	-	II		
II5	47.6	28 41	1372	M-(M7e)	M7	4	-	II		
II6*	48.4	26 44	1372	0.176M	M7	3	-	II		
II7	50.4	28 03	1372	M-(M7e)	M7	4	-	II		
II8*	50.8	30 02	II5I	0.470M	M7	3	-	II		
II9	51.8	35 58	1413	M	M5	2-3	-			
			1639	M	M5	2-3	-			
II0	54.8	26 22	1372	M-(M7e)	M7	4	-	II	I	
II1	50 55.5	25 47	1372	M	M7	4	-	II	3	
II2	21 00.1	37 29	I43I	M	M5	3	-			
			1639	M	M5	3	-			
			2855	M	M5-7	3-4	-			
			3000	M-(M7e)	M5-7	4	-			
			3001	M	M7	4:	-			
			3004	M	M5-7	4	-			
I23	02.2	37 13	I43I	M	M5-7	4	-			
			1639	M	M5-7	4	-			
			2855	M	н е д о д е р ж к а	(M5-7):3	-			
			3000	M(SRa)	M5-7	3	-			
			3001	M(SRa)	M5-7	3	-			
			3004	SRa	M3	2-3	-			
I24*	02.3	41 18	2510	M-M7e	M7	4	3			
I25	03.1	36 51	I43I	M	M7	4	-			
			1639	M	M5	4	-			
			2855	M:	M7	4:	-			
			3000	M:	M7	4	-			

Таблица 3 (продолжение)

I	2	3	4	5	6	7	8	9	10	II
			3000	M:	M7	4	-			
			3001	M	M7	4	-			
			3004	M	M5-7	4	-			
I26	21 ^h 05 ^m 8 ^s	39° 22'	2510	M-M7e	M8	4	2			I2
I27	06.3	39 24	I43I	M	M7	4	-			I2
			1639	M	M5-7	4	-			
			2851	M:	M7	3	-			
			2855	M:	M5-7	2-3	-			I
			3000	(M-SRa):M7	3-4	-				
			3001	M	M5-7	3	-			
			3004	M:	M5-7	3	-			
I28	07.6	38 46	I43I	M-(M7e)M5-7	4	-				I2
			1639	M-(M7e)M5	4	-				
			2855	M:	M5-7	3:	-			
			3000	M-(M7e)M	-	-				
			3001	M(M7e)M5-7	4	-				
			3004	(M-SRa):M5	3	-				
I29	08.8	37 48	I43I	(M-SRa):M5	3	-				
			1639	M:	M3	1	-			
			2855	M:	M5	-				
			3000	M	M7	3-4	-			
			3001	(M-SRa):M5-7	3	-				
			3004	SRa:	M5	2	-			I2
I30	10.1	36 18	I43I	M	M5-7	4	-			
			2855	н е д о д е р ж к а	4	-				I
			3000	M-M7e	M7	4	-			
			3001	M	M7	4	-			I2
			3004	M-M7e	M7	4	-			
I31*	II.9	37 49	I43I	0.097M-M7e	M7	4	2			
			2851	0.725M:	M5	3:	-			
			2855	0.734M:	M5	3:	-			
			3000	0.946M:	M5-7	3	-			
			3001	0.947(M-SRa):M5	3-4	-				I2
			3004	0.950(M-SRa):M5	3	-				I2
I32	I2.1	40 45	2510	M-M7e	M7	4	2			I2
I33	I2.4	39 35	I43I	M-M7e	M7	4	-			
			2855	M:	M5-7	4	-			
			3000	M-(M7e)M5-7	4	-				
			3001	M	M5-7	4	-			
			3004	M	M5	3-4	-			I3
I34	I2.9	36 29	I43I	(M-SRa):M5	3	-				
			2851	(M-SRa):M5-7	3:	-				
			3000	M	M5	3	-			
			3001	M-(M7e)M5-7	3	-				
			3004	SRa	M3	2	-			I3
I35	I5.0	39 47	I43I	(M-SRa):M5	4	-				
			3000	SRa:	M3-5	2-3	-			
			3001	(M-SRa):M5-7	3-4	-				
			3004	M:	M1-3	2	-			
I36*	20.9	37 44	I43I	0.656M-M7e	M7	4	2:			I, I3
			3000	0.479M-M7e	M7	4	2:			I
			3001	0.480M-M7e	M7:	4:	-			I
			3004	0.484M	M7	4	2-3			I3
I37	23.5	36 34	I43I	M-M7e	M7	4	-			I
			3004	M:	M7	4	-			

таблица 3 (продолжение)

I	2	3	4	5	6	7	8	9	10	II
I38	21° 30' 45"	56° 12'	903	M-M7e	M8	4	3	13		
I39	32.5	50 53	3012	M:-SRa:	M3-5	2-3	-	13		
I40	52.9	58 00	903	M-M7e	M7	4	3	13		
I41	40.2	55 16	903	M-M7e	M8	4:	3-4	13	I, 8	
I42	41.5	58 23	903	M:	M5	3	-	13		
I43	46.7	51 05	3012	M:	M5	4	-	13		
I44*	48.9	56 13	903	M-M7e	M5-7	4	2-3	13		
I45	52.9	58 16	903	M-M7e	M7	4	3	13	I	
I46	53.3	58 22	903	M-M7e	M7	4	3	13	I	
I47	21	56.5 56 54	3154	SRa	M5	3	-	14		
I48	22	02.5 61 20	30III	M	M5-7	3	-	14		
I49	03.2	44 24	I432	M	M5	4	-	14		
I50	II.9	43 52	I432	M	M5-7	4	-	14		
I51	I6.9	61 36	30II	M	M5-7	3-4	-	14		
I52	28.0	54 37	3I4I	M	M6	3	-	I, 14		
I53	29.8	40 30	2498	M	M5-7	4	-	14		
I54	35.1	41 56	2498	M	M3-5	5	-	14		
I55*	38.8	41 56	I247 0.069	M	передержка		I, 14	2, 9		
			2498 0.804	M	M7	4	-	I, 14		
I56	38.9	40 50	2498	Lb:	M7	4	-	I4		
I57	39.6	42 08	2498	M	M5	3	-	I4		
I58*	41.8	40 17	2498	M	M5	4	2	I4		
I59*	45.5	57 58	936 0.369	M-M7e	M7	4	5	I5		
		I07I	0.660	M-M7e	M7	4	3	I		
I60	48.0	40 44	2498	M	M5-7	4	-	I5		
I61	52.0	57 03	936	M	M7	4	-	I5		
		I07I		M-M7e	M7	4	3	I		
I62	58.2	56 44	936	M	M5	4	-	I5		
		I07I		M-M7e	M7	4	3	I		
I63*	23	00.9 55 57	936	M	M5	4	-	I, 15		
		I07I		M(M7e:)	M5-7	4	2:	I		
I64*	01.4	56 32	936	M	M5-7	4	-	I5		
		I07I		M-M7e	M7	4	2-3	I		
I65	04.0	57 45	I368	M	M5	3	-	I5		
I66	04.0	59 46	25I4	M-M7e	M5	4	3	I5		
		30I7		M	M5-7	3	-	I5		
I67	04.6	57 42	936	M	M3-5	4	-	I5		
		I07I		M-M7e	M5-7	4	2-3	I		

Таблица 3 (продолжение)

I	2	3	4	5	6	7	8	9	10 II
I68	23° 05' 55"	60° 23'	25I4	Lb		M1	4:	-	I5
			30I7	Lb	M7e	M3-5	3:	2	
I69	06.7	63 55	30I7	Lb		M5	4:	-	I5
I70*	07.0	59 07	I368 0.452	SRa		M3-5	2	-	I5
			25I4 0.86I	SRa:		M5	3	-	2
I71	09.1	59 59	25I4	M-M7e	M5	4	3	I6	
			30I7	M-M7e	M5	3:	2		
I72*	09.9	56 40	I368 0.963	M	M5	4	-	I6	
I73*	I4.2	55 24	I368	M-M7e	M5	4	2	I6 I	
			I395	M-M7e	M5-7	4	3		
I74	I6.5	55 35	I368	M	M5-7	4	2	I6	
			I395	M-M7e	M5-7	4	2		
I75	I6.8	59 01	25I4	M-M7e	M5	3	3	I6	
I76	I8.0	55 08	I395	M-M7e	M7	4	3	I6 I	
I77	I8.7	56 50	I395	M-M7e	M5-7	4	2	I6	
I78	20.0	54 21	I395	M-M7e	M5-7	4	2	I6	
I79	I2.I	55 45	I395	M-M7e	M5	4	I	I6	
I80	I2.2	55 53	I395	M	M3-5	3-4	-	I6	
I81*	22.9	55 08	I395	Lb-M7e	M5	4	3	I, I6	
I82	24.8	59 57	25I4	M	M5	3	-	I6	
I83	51.0	58 09	I395	M	M5	3-4	-	I7	
I84	32.7	58 16	I395	M-M7e	M5-7	4	3	I7	
I85*	33.8	53 58	I395	M-M7e	M5-7	4	2	I7 I	
I86*	39.7	55 59	I395 0.775	M	M5-7	4	2	I7	
			2449 0.147	M	M5	3	-	2	
I87	40.9	53 57	2449	SRa	M5	2-3	-	I7 2	
I88	41.8	60 37	I028	Lb:	M5	4:	-	I7	
I89	51.7	58 10	I028	M-M7e	M5	4	2	I7	
I90	52.6	55 35	2449	M	M5	3-4	-	I7 I	
I91*	54.7	59 09	I028	Lb-M7e	M5	3	3	I7 2	

ПРИМЕЧАНИЯ к таблице 3:

Столбец I: Звездочкой обозначены известные переменные (OKPB 1969; КЗП I95I, I965):

9. BL Cas, SR, M6

10. 154, - LPT, -

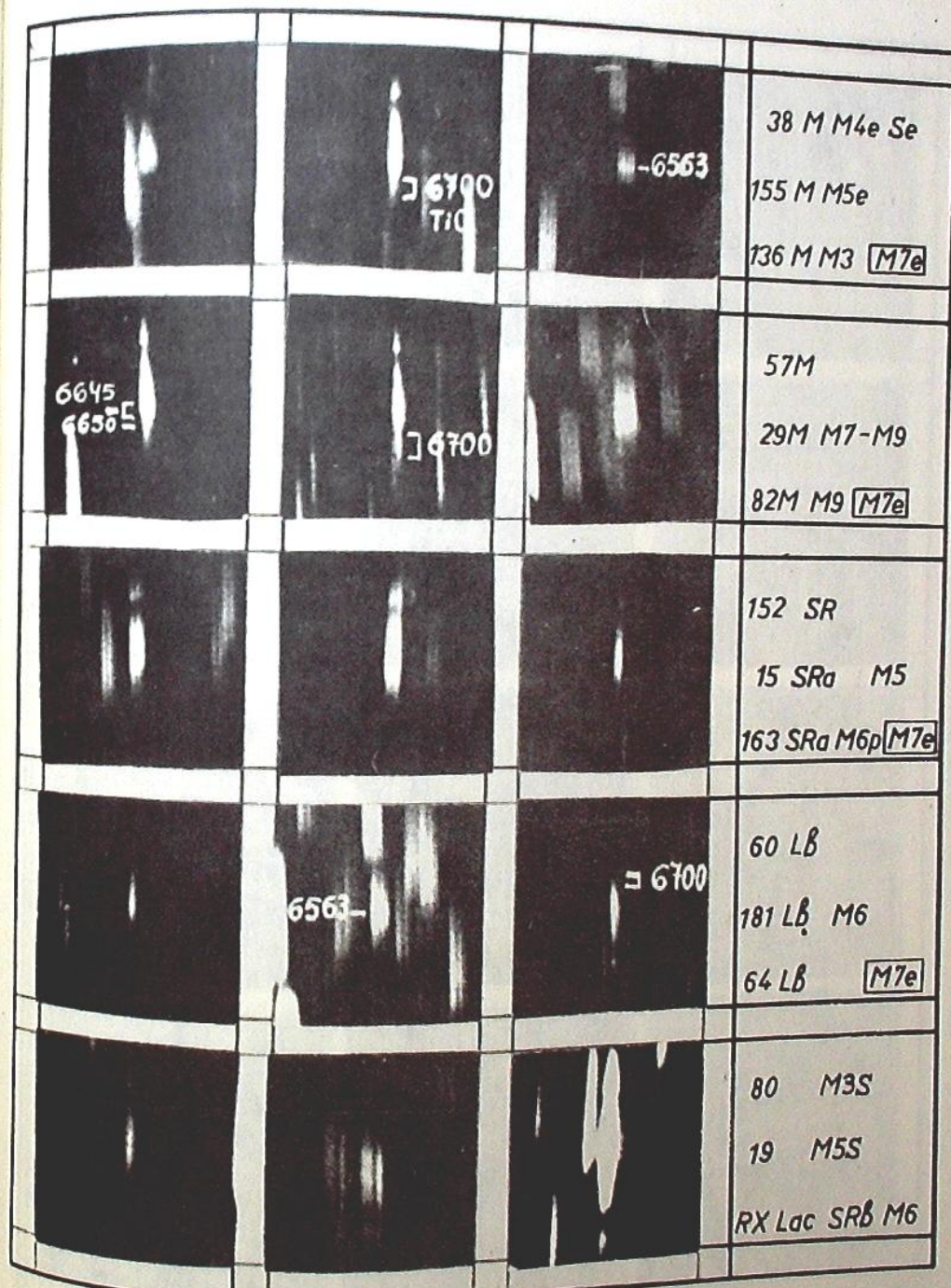
11. R Per, M, M2e-M5e

таблица 3 (продолжение)

I2.	AP Per, M, M7	88.	V 639 Oph, M, M5
15.	TX Tau, SRa, M5	90.	AN Lyr, M, -
22.	EE Aur, Ib, M6	92.	FI Cyg, M, -
25.	W Aur, M, M3e-M5, 5e	93.	V 855 Cyg, M, -
26.	3577=44000, Ib, M5	104.	KZ Cyg, M, M8e
28.	AW Aur, M, M9	109.	V 570 Cyg, M, -
29.	RU Aur, M, M8e	116.	UW Vul, M, M7:
30.	V 520 Ori, Ib, M4	118.	UX Cyg, M, M4e-M6e
31.	AZ Tau, Ib, M8	121.	5351, -
32.	DT Ori, M, M10	124.	5350, SP, -
38.	V Gem, M, M4e(Se)-M5e	127.	102065, -, M1
40.	T C Min, M, M5e(S)	131.	V 479 Cyg, M?, -
43.	BK Sco, M, -	136.	V 473 Cyg, M, M3
45.	2529, -	144.	5482, LP, -
48.	2542, -	147.	GN Cep, SR, M6
49.	UV Sco, ?, -	152.	5571 (?),
52.	BW Sco, M, -	155.	R Lac, M, M5e
53.	VW Sco, M, -	159.	AL Cep, M, M6.5
54.	VY Sco, M, -	163.	V 343 Cas, SRa, M6p
56.	2642, RW?, -	164.	V 426 Cas, M, -
57.	Y Sco, M, -	170.	V Cas, M, M5e-M7e
59.	FK Sgr, M, M9:	172.	V 397 Cas, M, M9
60.	EK Her, Ib, -	173.	102249, -, Ma
61.	VV Sgr, M, MBe	181.	DG Cas, Ib, M6
64.	PS Her, L, -	185.	102273, -
65.	PL Her, Ib, M4	186.	Z Cas, M, M7e
69.	FR Sct, Ib, M2e	191.	V 335 Cas, L, -
71.	V 1982 Sgr, L, M6		
75.	(BN Ser, L, -) ?		
76.	V 1993 Sgr, M, M7		
78.	V 604 Oph, M, M5		
79.	BI Oph, M, M4e		
81.	VW Sct, M, M4-M6		
82.	V 1692 Sgr, M, M9		
84.	V 623 Oph, Ib, M6.5		
85.	V 925 Oph, L, -		
86.	BK Oph, M, M6e-M7e		
87.	BR Ser, M, M5		

Столбец II (примечания):

1. Недодержка
 2. Передержка
 3. Наложение с синего конца
 4. Наложение с красного конца
 5. Особенности в спектре
 6. $e(6345)$
 7. $e(H_\alpha, H_\delta < H_\delta, H_8)$
 8. $e(6474)$
 9. $e(H_\delta < H_\delta, H_8 - H_{II})$



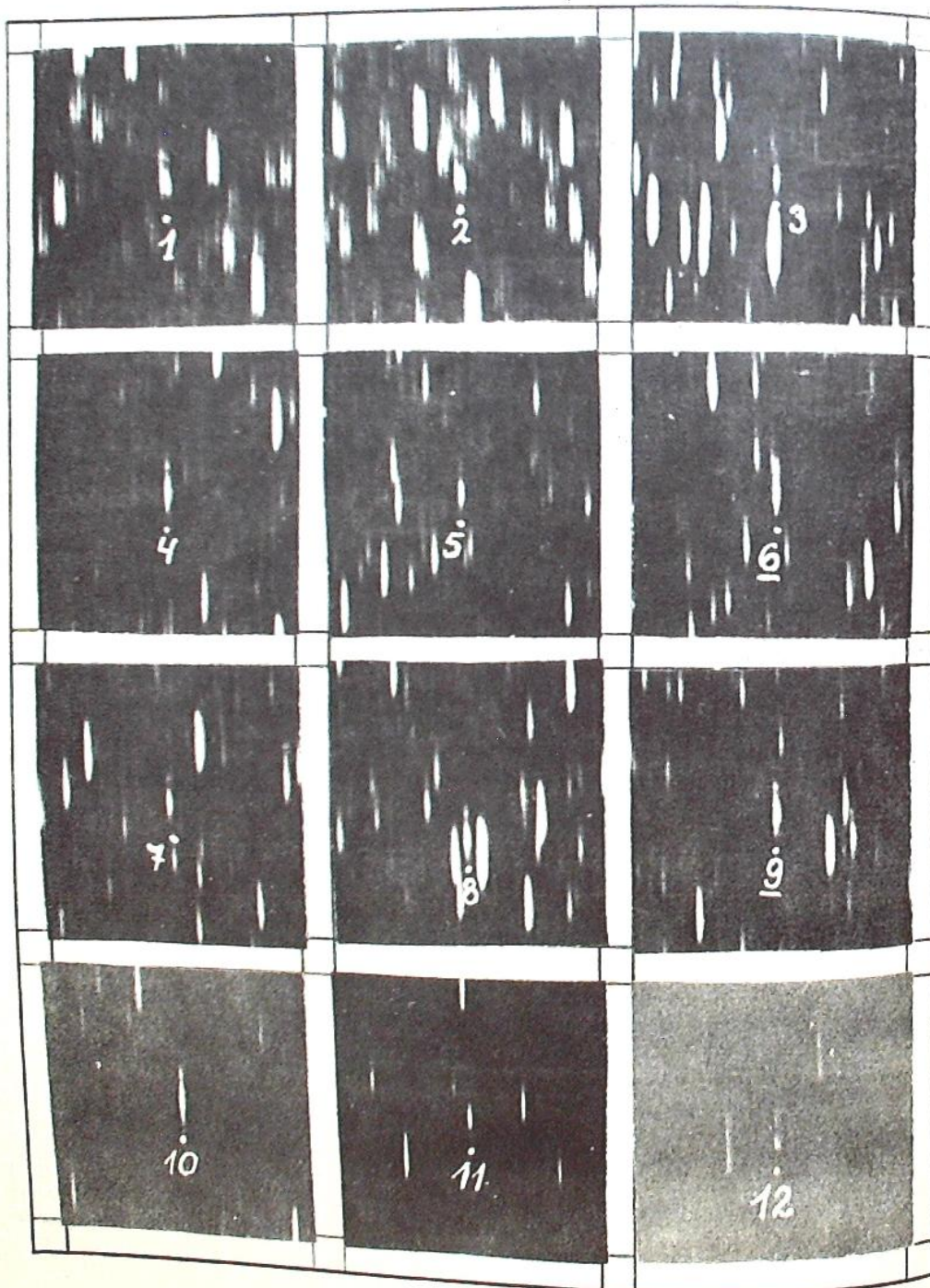


Фото 2

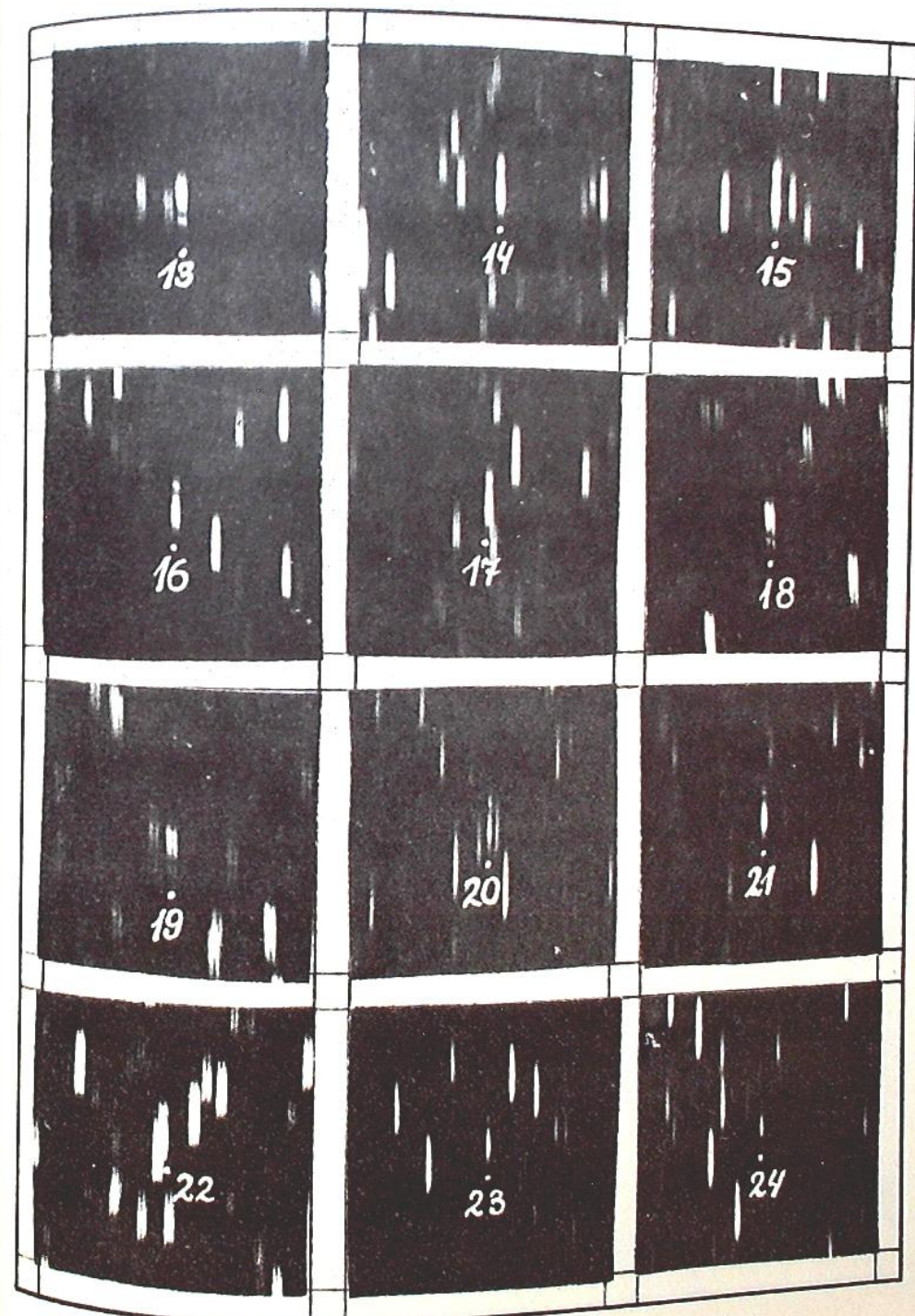


Фото 3

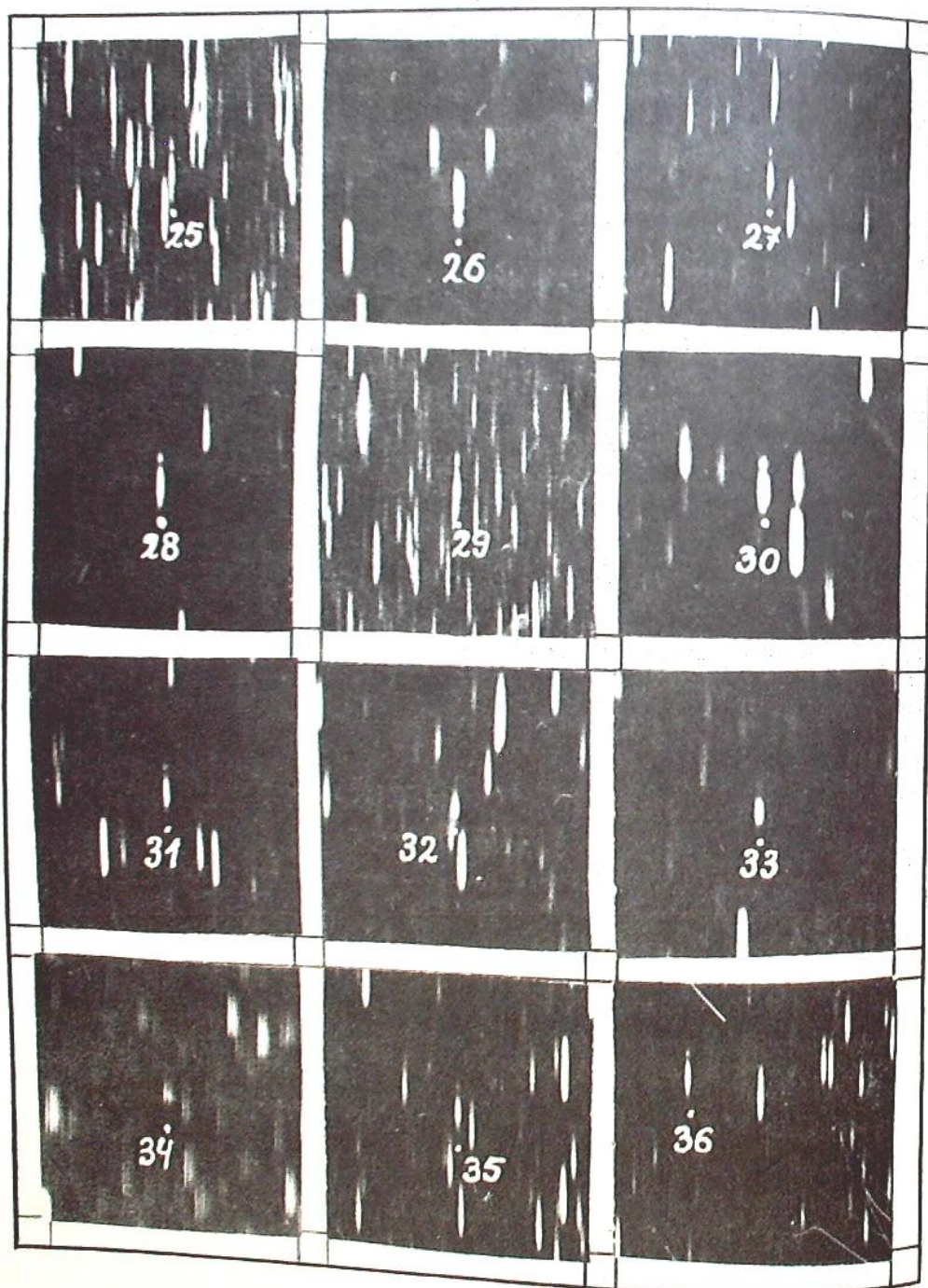


Фото 4

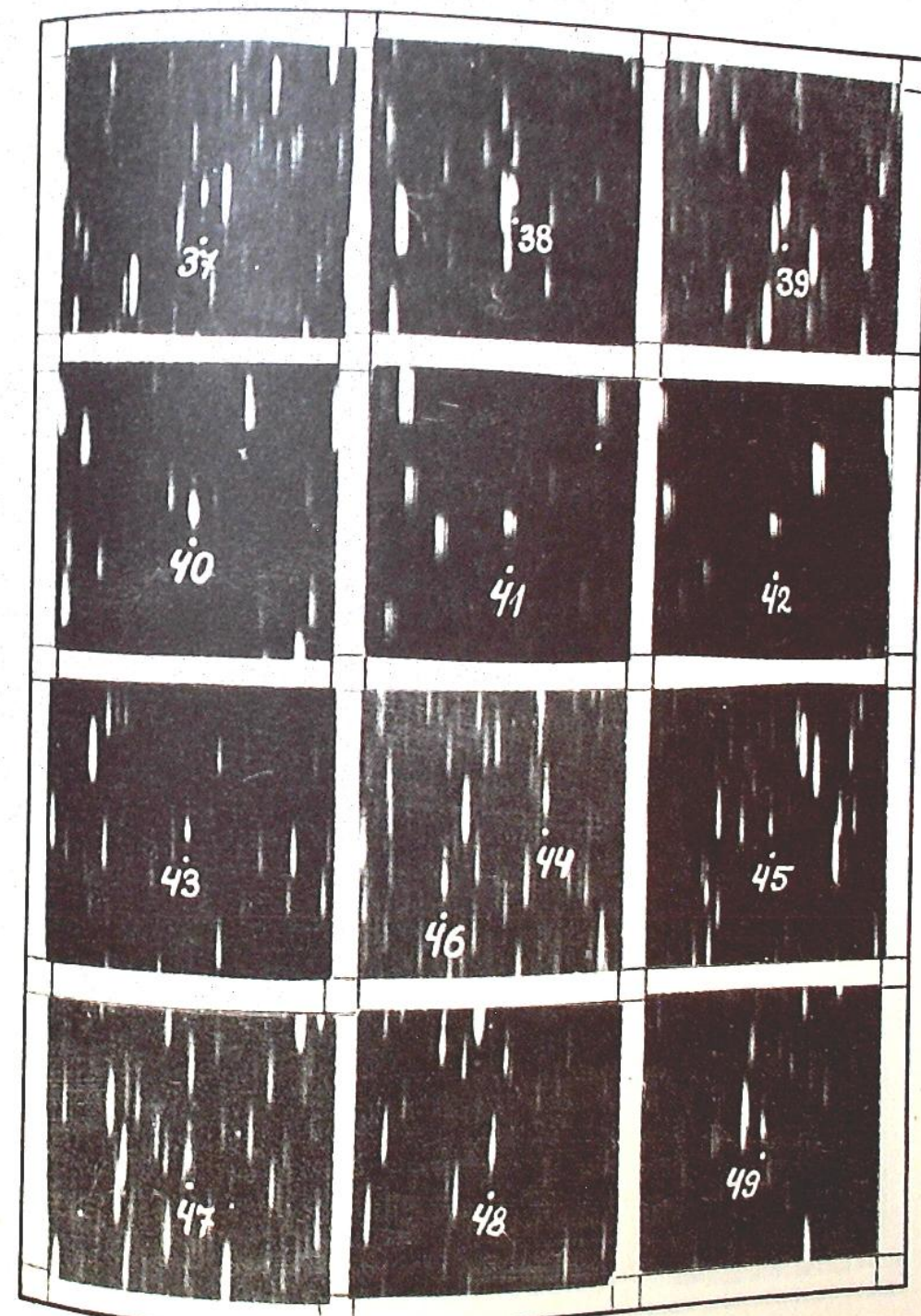


Фото 5

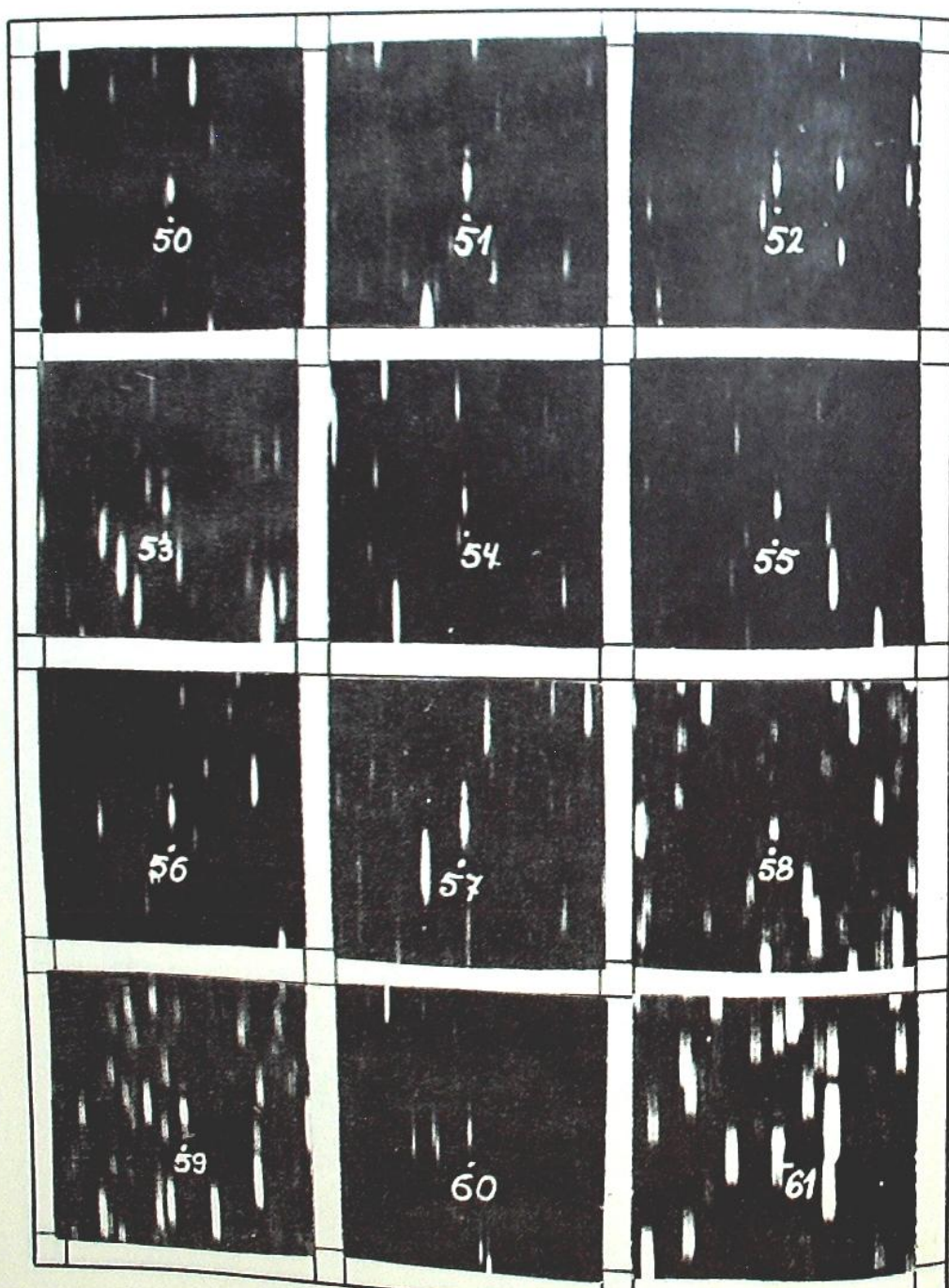


Фото 6

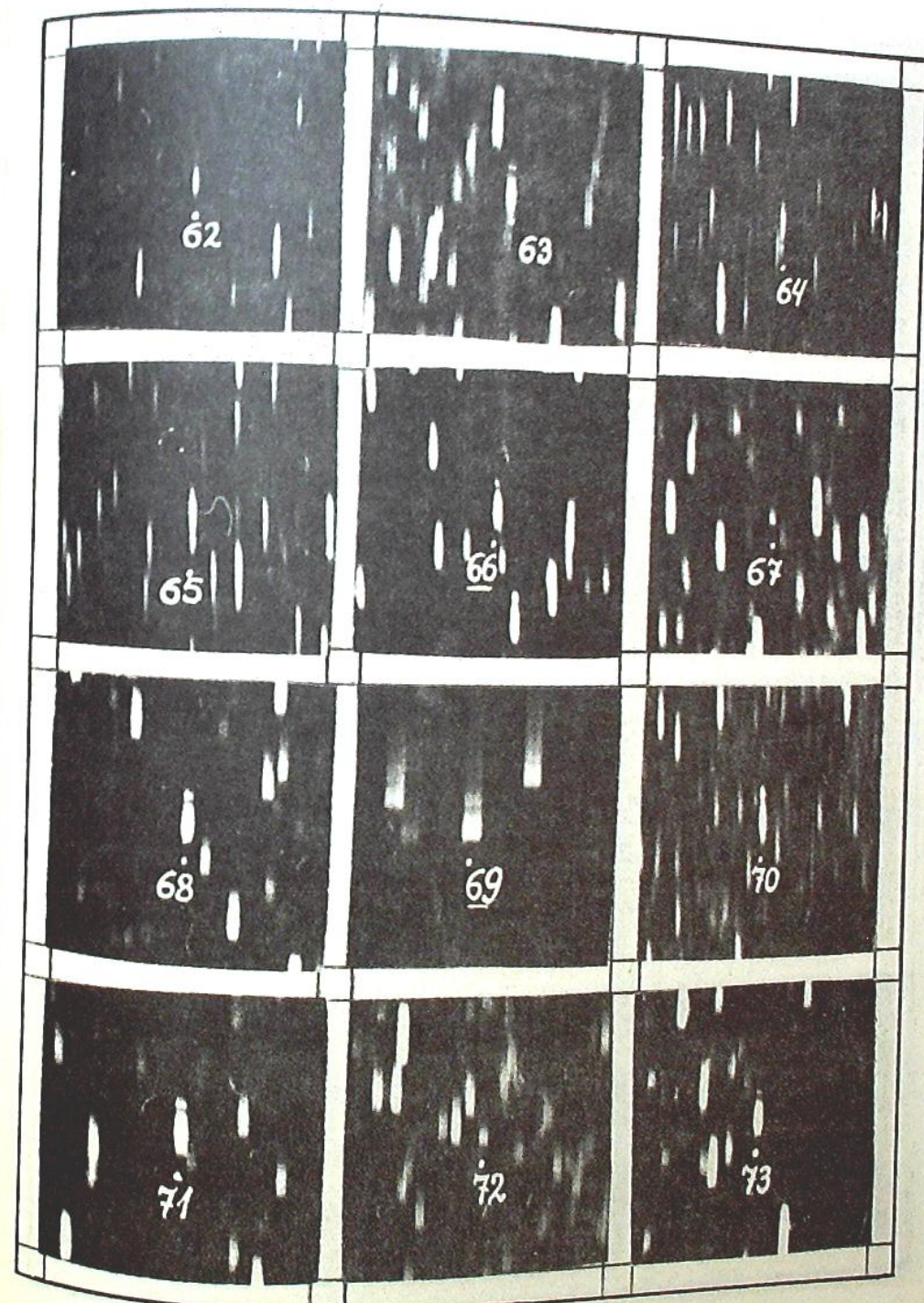


Фото 7

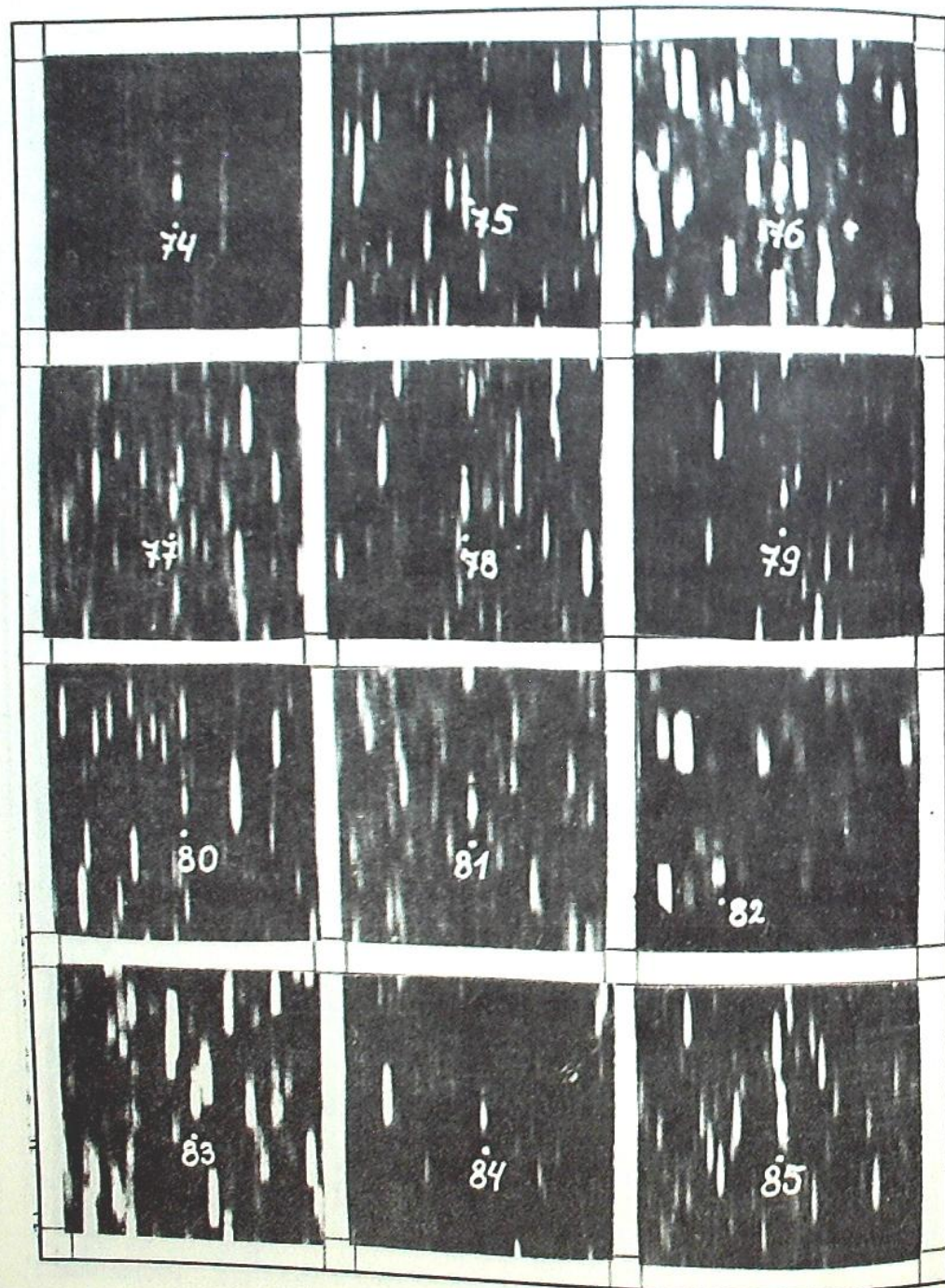


Фото 8

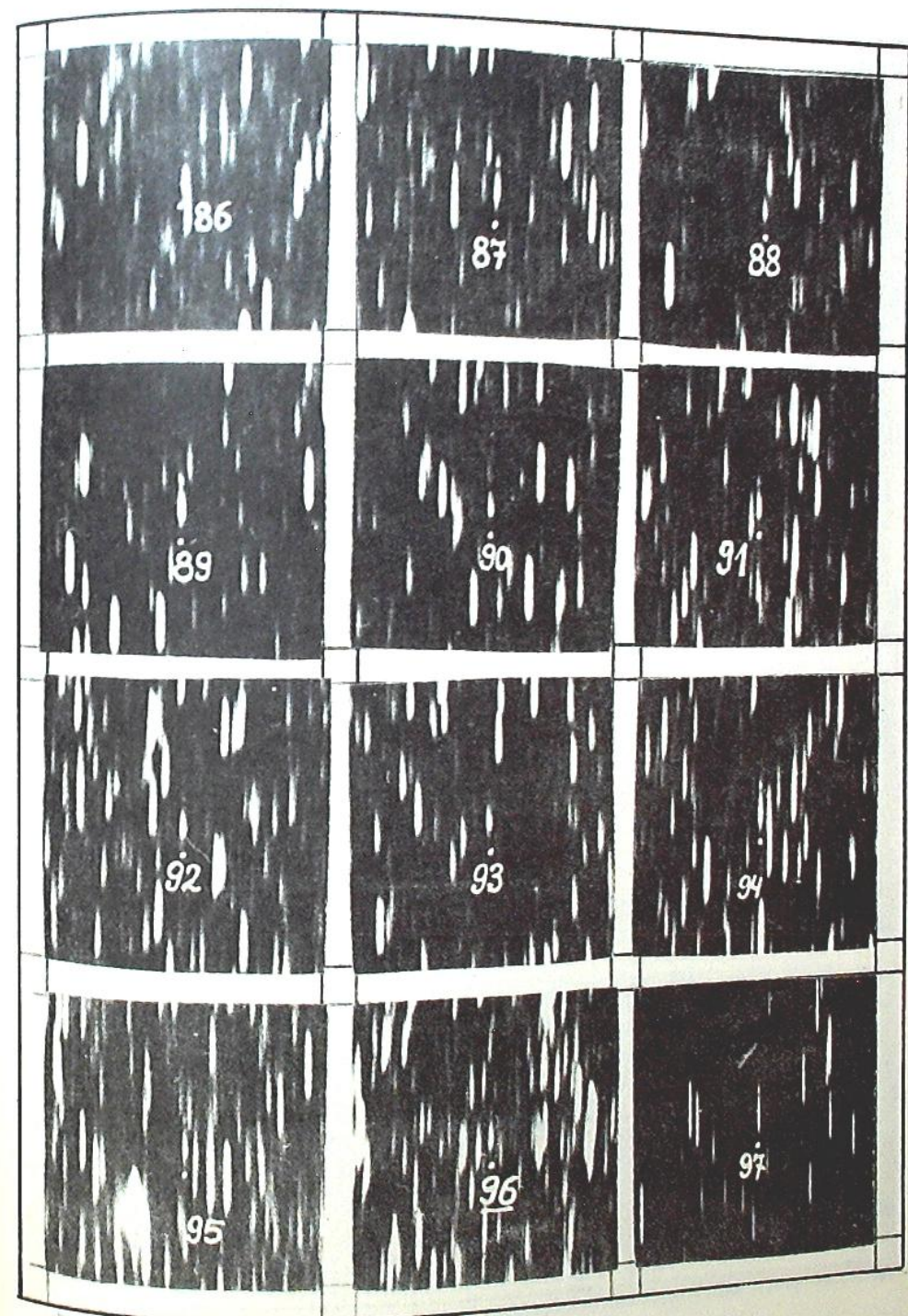


Фото 9

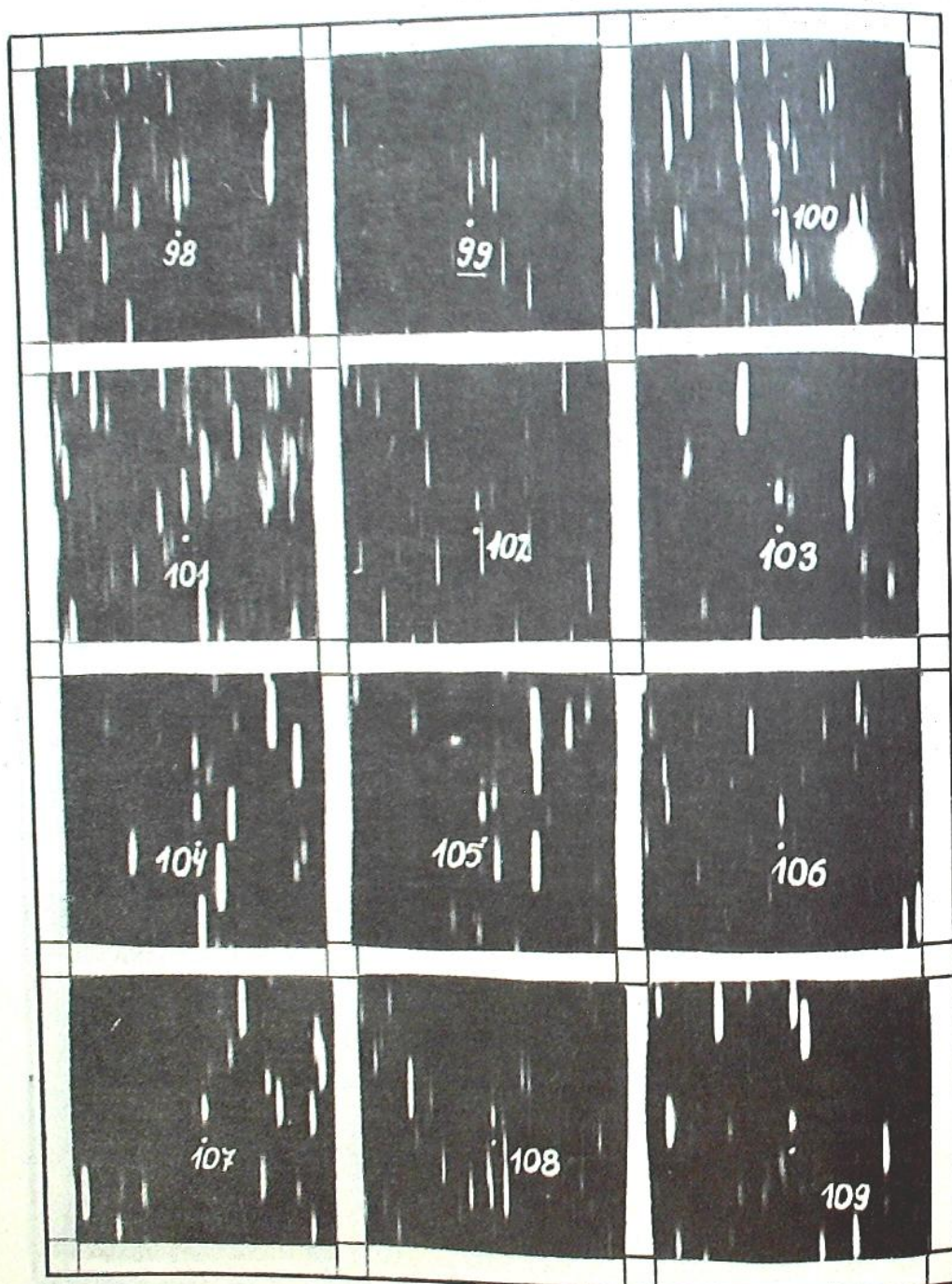


Фото 10

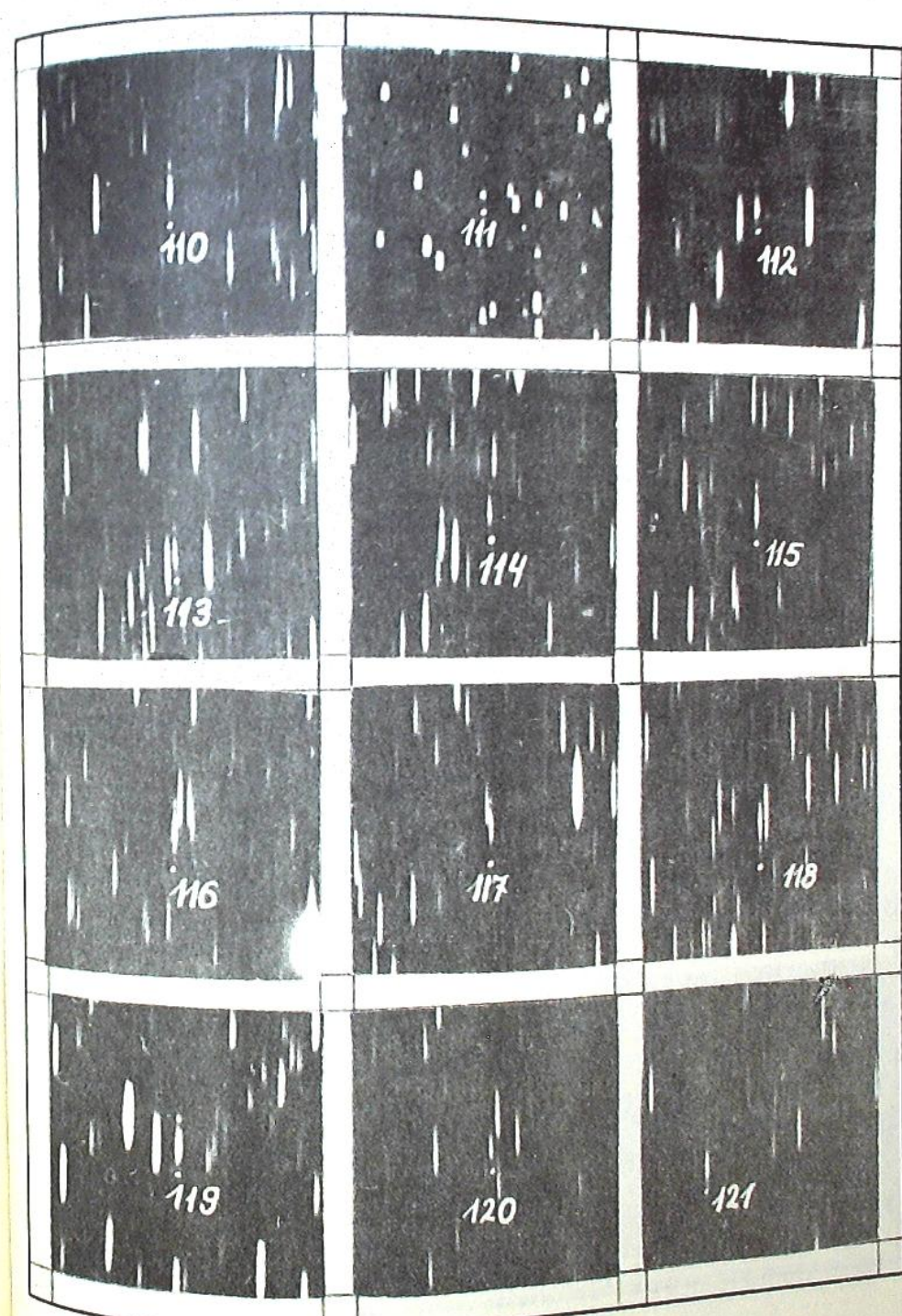


Фото 11

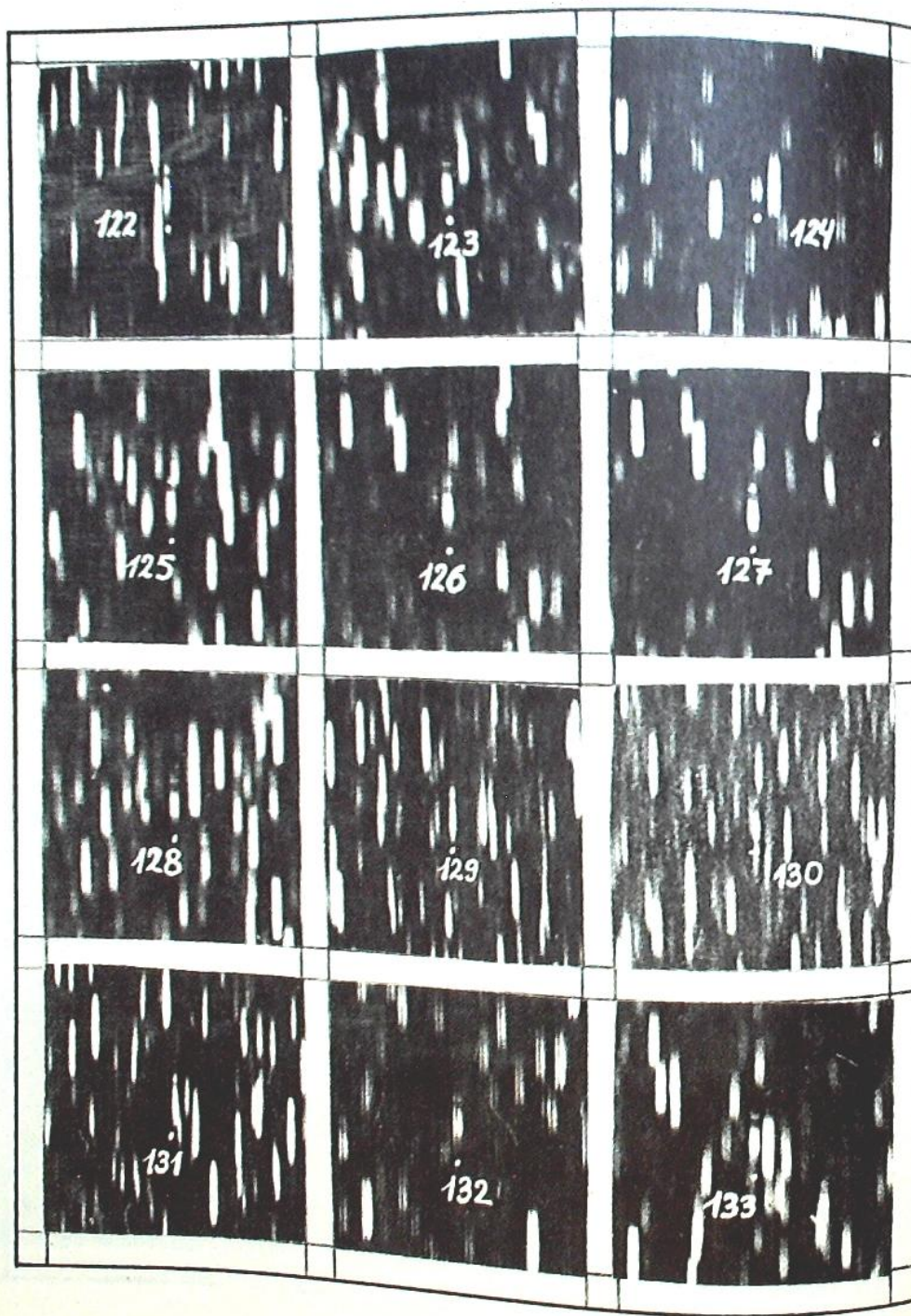


Фото 12

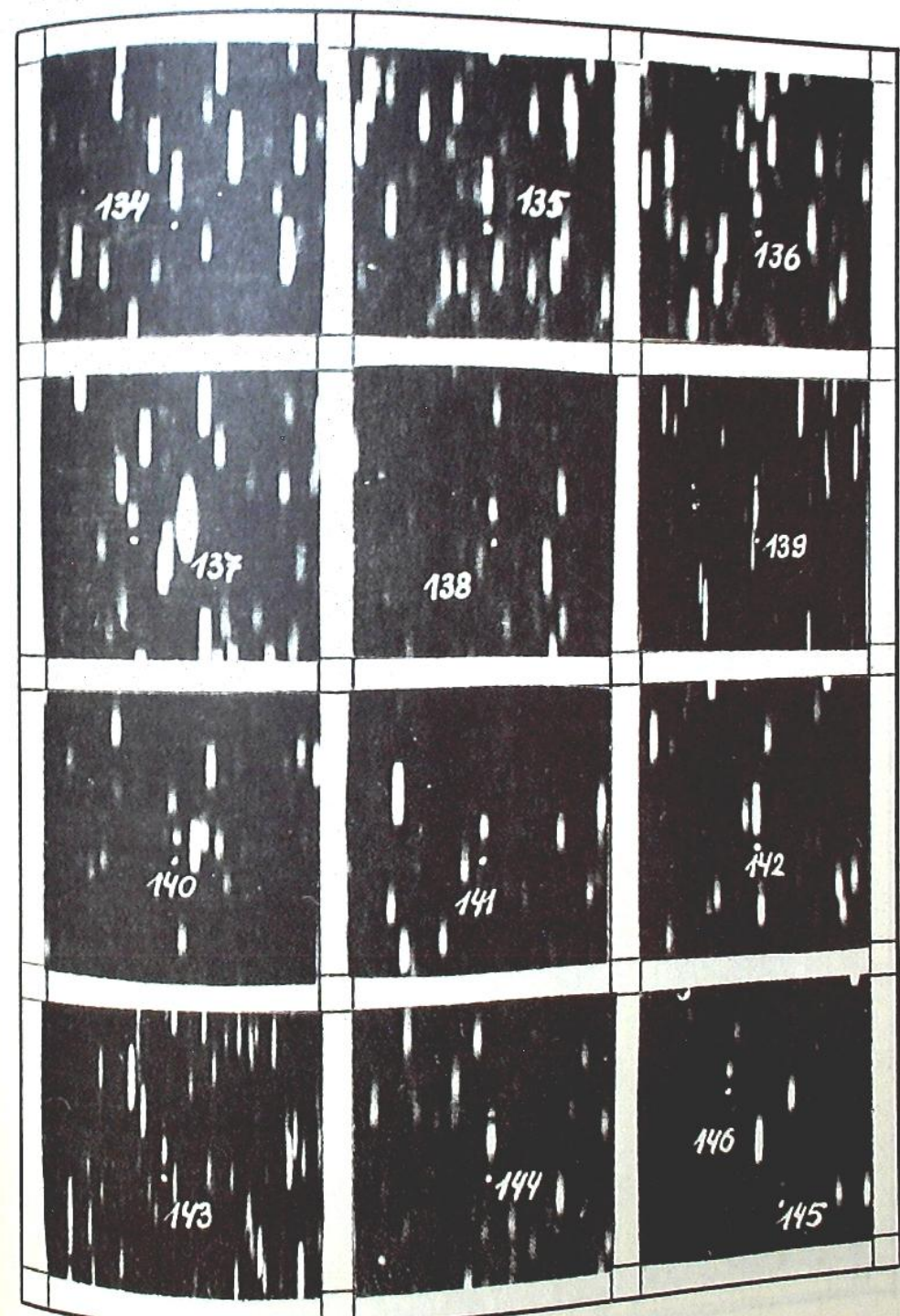


Фото 13

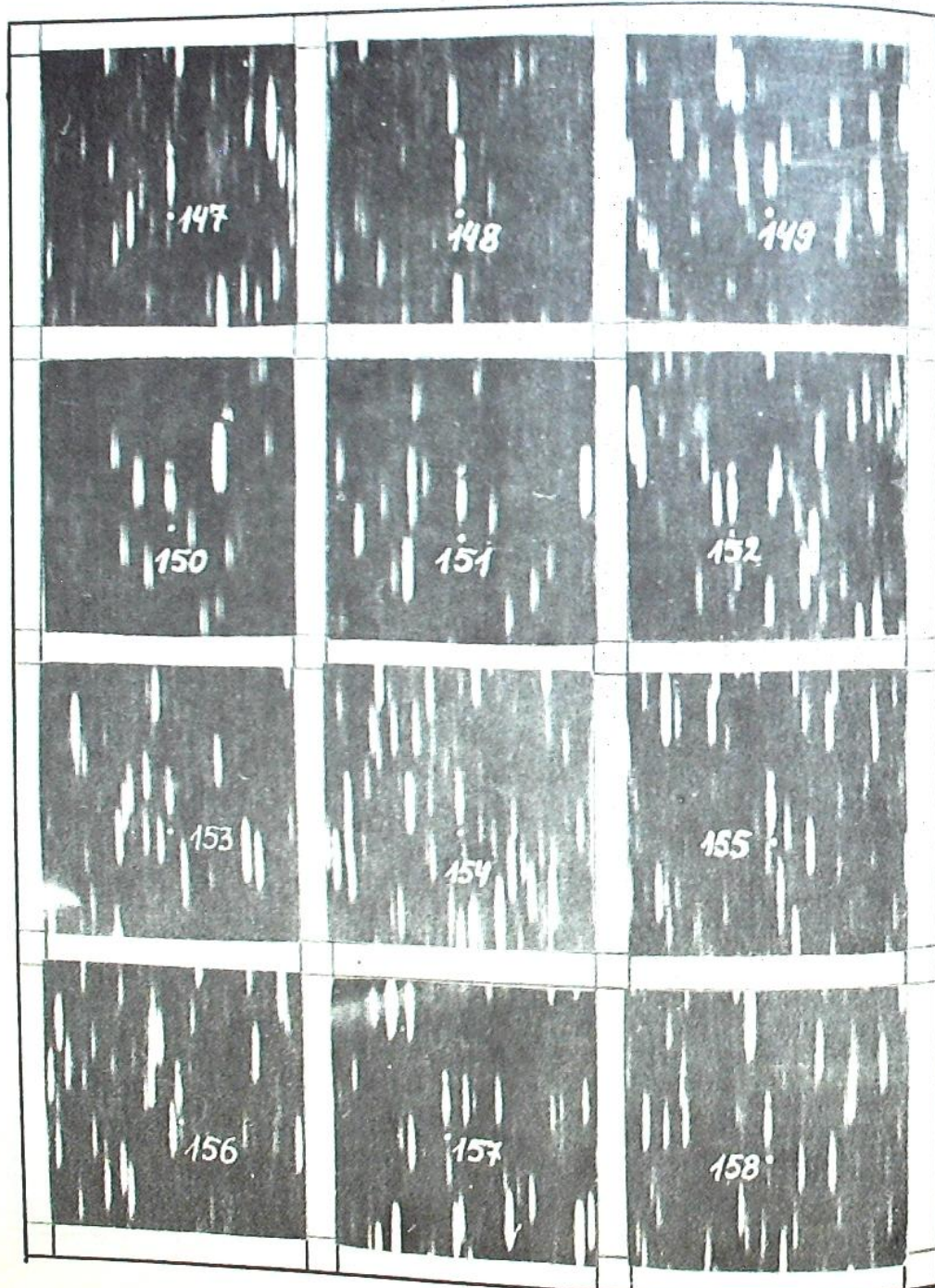


Фото 14

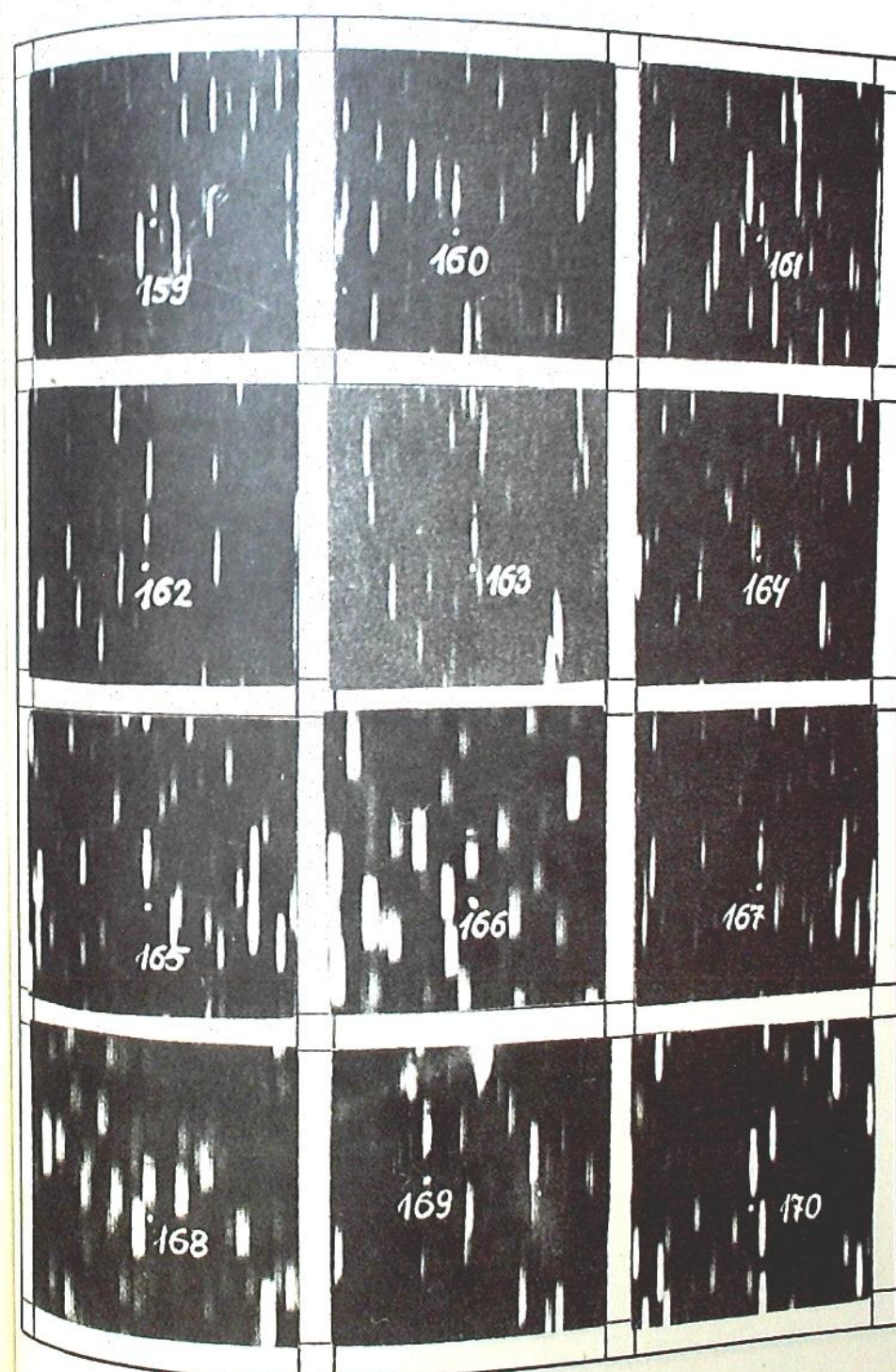


Фото 15

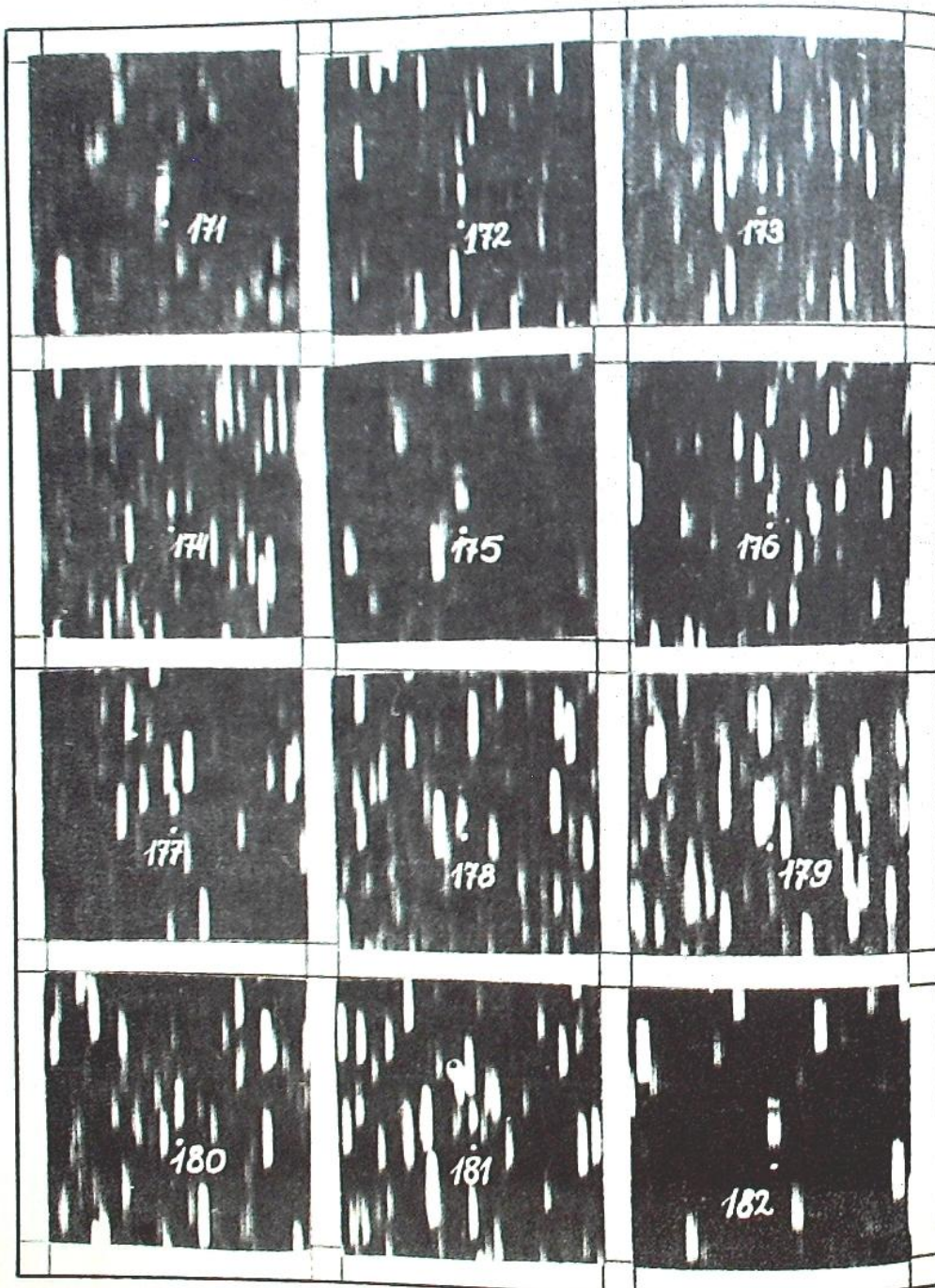


Фото 16

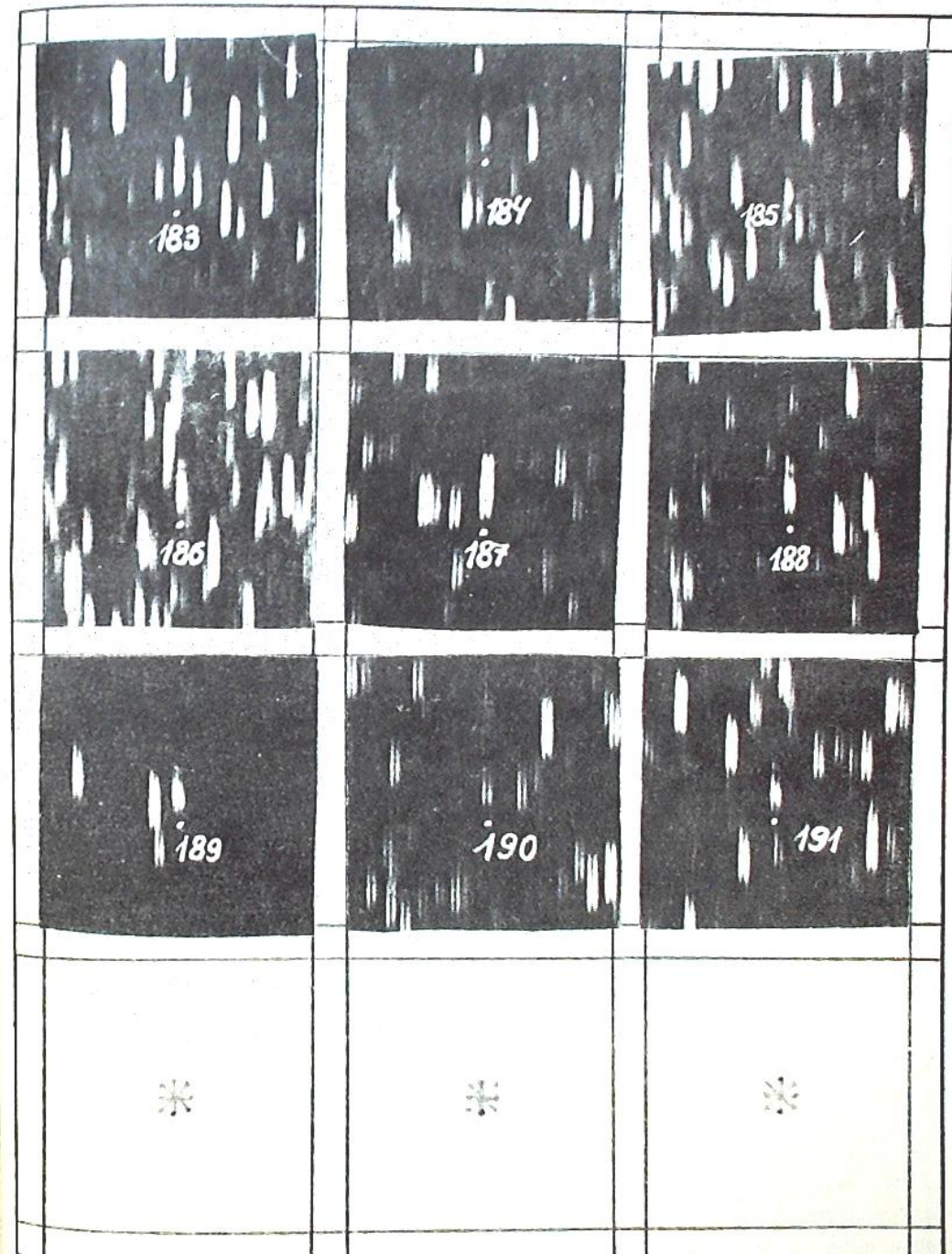


Фото 17

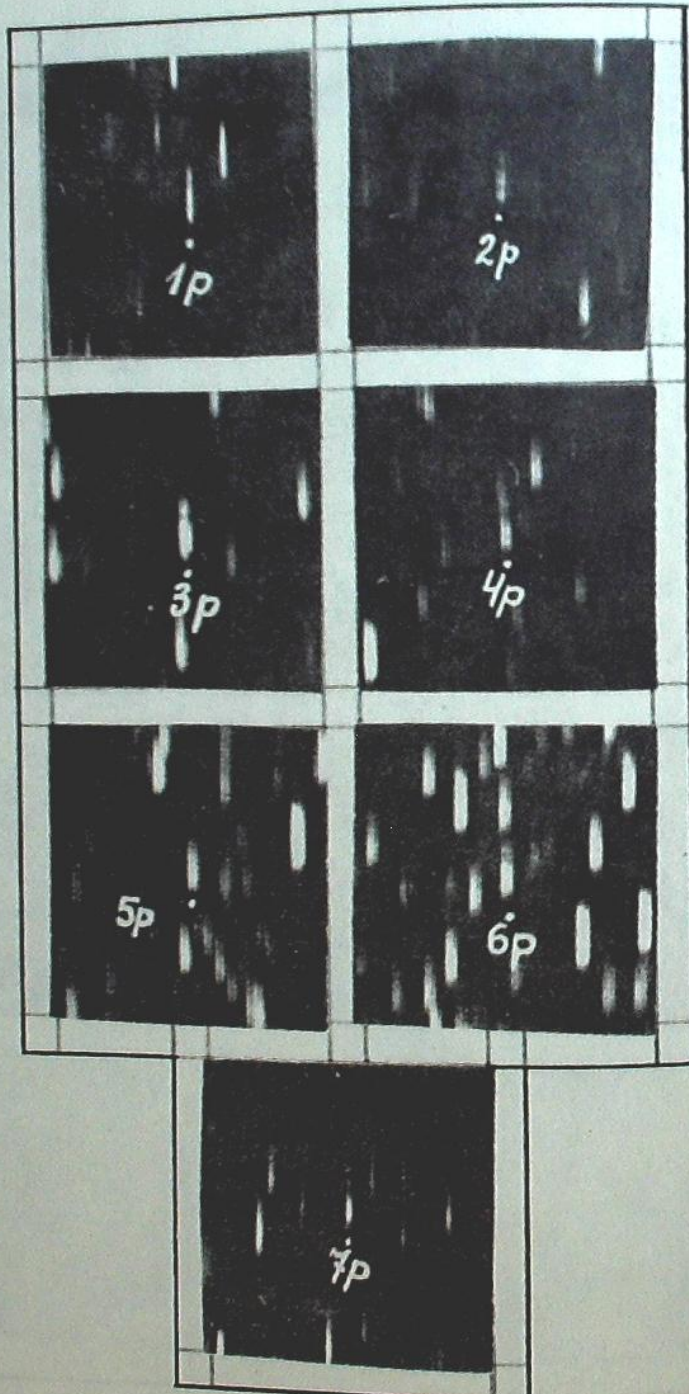


Фото 18

ОСОБЕННОСТИ ВИДИМОГО РАСПРЕДЕЛЕНИЯ ГРУППИРОВОК
ЭМИССИОННЫХ ЗВЕЗД

М. В. ДОЛИДЗЕ

На первом этапе исследований, проводимых нами на основе спектральных обзорений, относящихся к отдельным узким участкам спектра, мы ставили себе целью выявление и изучение, с одной стороны, спектральных особенностей отдельных галактических объектов, а с другой – морфологических признаков, характерных для ассоциированных с нашими объектами туманностей, включаящих в себе скопления и ассоциации. Отбирались спектральные особенности и морфологические признаки, наиболее пригодные для массовых поисковых и спектрально-классификационных работ.

Чередуя поисковые и спектрально-классификационные работы, дополняющие друг друга, и проводя каждый раз, перед наблюдениями, предварительный анализ о природе объектов и их распределении, мы смогли наконец определенное количество новых галактических объектов различного типа и составить предварительное представление об их видимом распределении, природе и характере их связи с другими галактическими объектами.

После того, как мы составили списки новых объектов и выделили их группировки, как например, возможные группировки эмиссионных звезд [1, 2, 3], теперь мы располагаем возможность построить картину распределения наших объектов и проанализировать её сравнением с другими имеющимися данными.

Так как мы ограничены спектральным материалом и не располагаем прямыми данными о расстояниях, картину распределения объектов, мы можем строить только косвенным путем. А именно, в одних случаях мы можем присоединять группировкам объектов (в основном группировкам эмиссионных звезд) расстояния тех галактических объектов, с которыми они видимым образом связаны. В других случаях, одиночным объектам определенных типов (мириды класса M, углеродные и циркониевые звезды и др. объекты) мы можем присоединять расстояния, например, по значению абсолютной величины, характерному для данного типа.

В обоих случаях можно ожидать получения новых дополнительных, уточняющих старые, данных, касающихся объектов различных подсистем.

Здесь мы рассмотрим первый случай.

Напомним вкратце историю вопроса о том, как был составлен для наблюдений программный список возможных участков расположения группировок H_α эмиссионных звезд. Так как мы не могли планировать ведение систематических спектральных обзорений больших участков или полос неба с целью выявления эмиссионных звезд, перед началом наших наблюдательных работ, еще в 1958 г., мы составили, а затем и опубликовали, с первыми предварительными результатами наблюдений [4], список возможных участков расположения группировок эмиссионных звезд. По этому списку и велись затем наблюдения эпи-